

SEM5950 - SEM0586

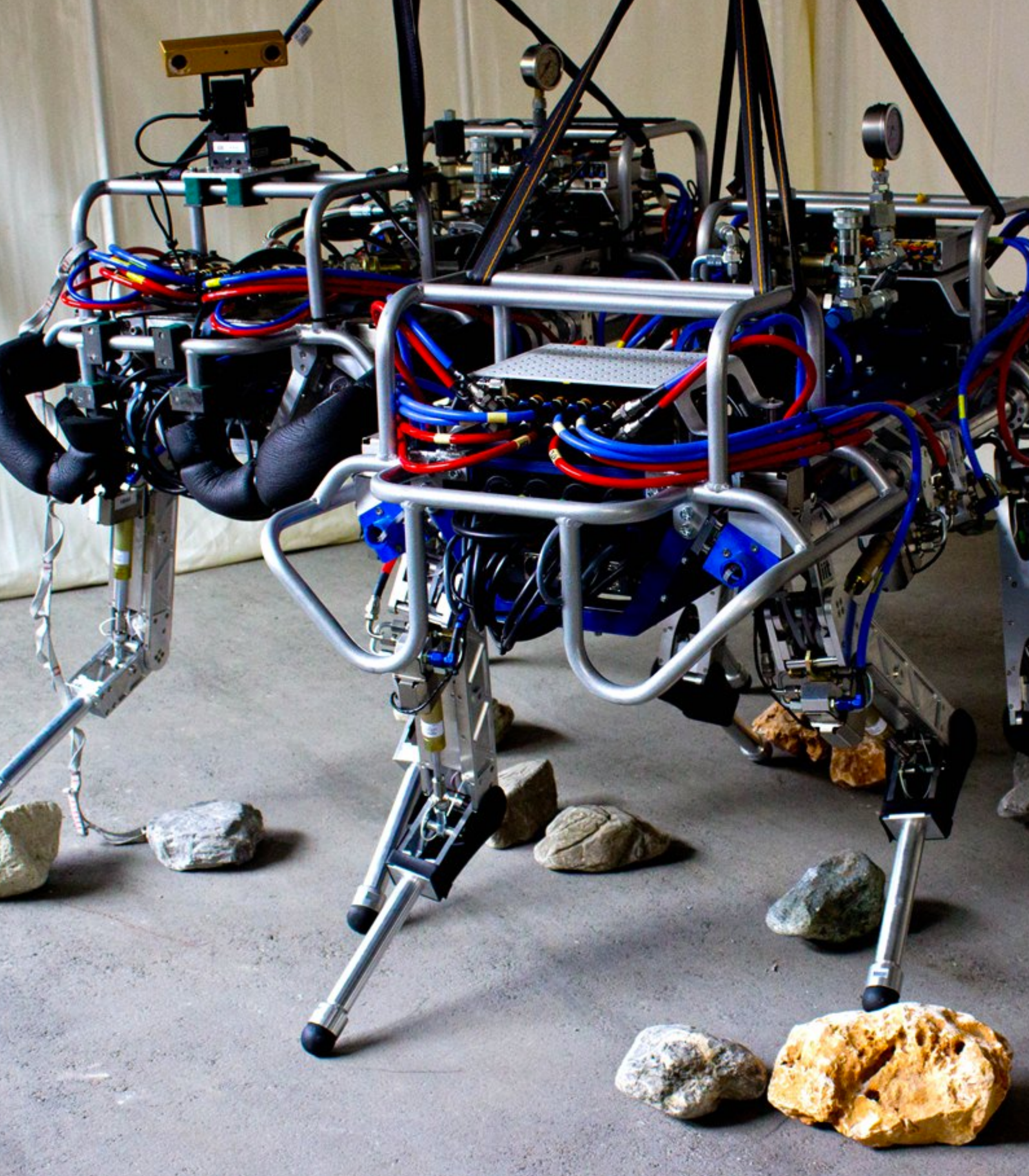
Legged Robots

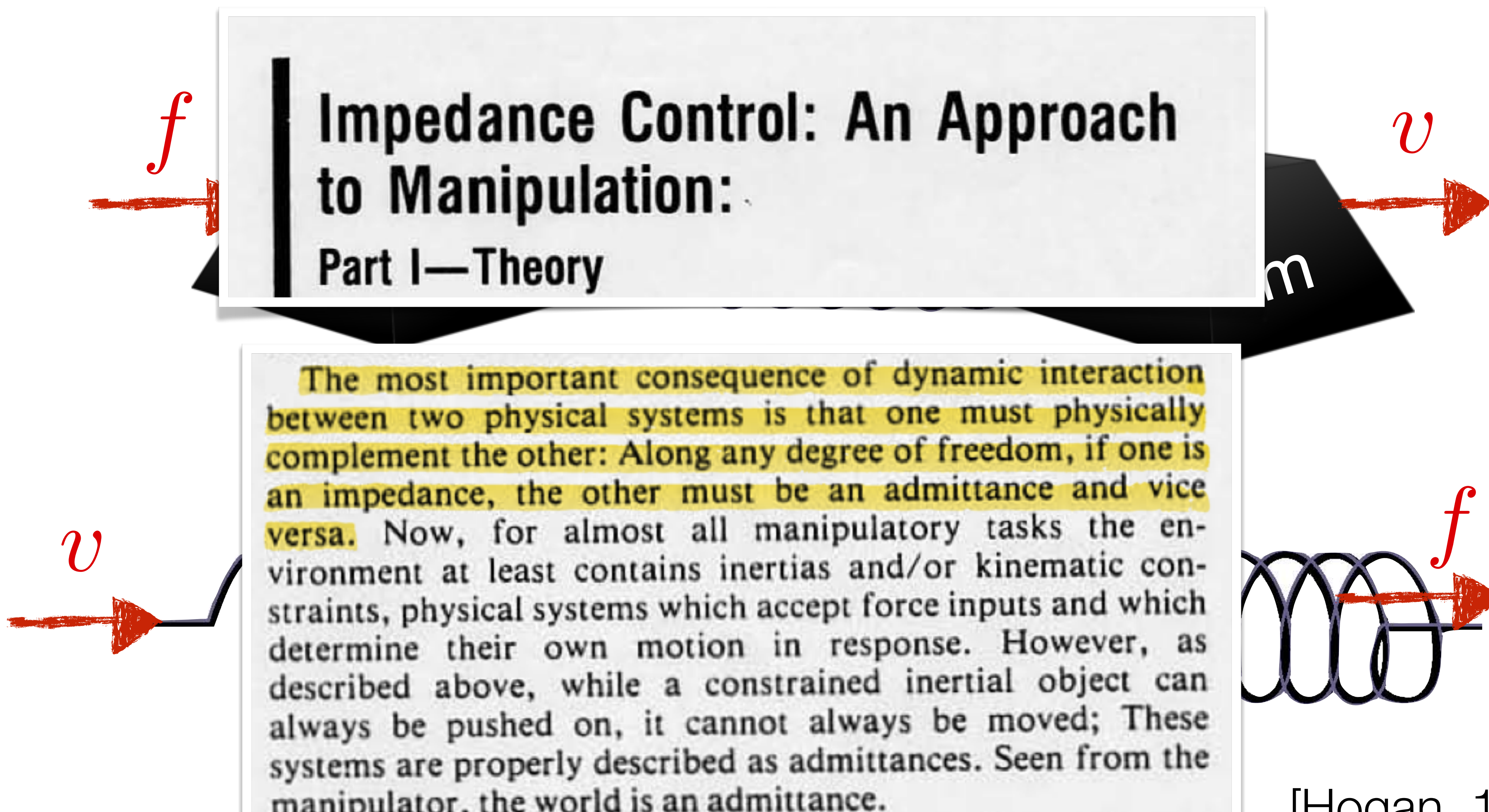
Aula #7: Controladores de impedância

Prof. Dr. Thiago Boaventura
tboaventura@usp.br



São Carlos, 09/10/20





[Hogan, 1985]

controlar
impedância não é
controlar **força**...

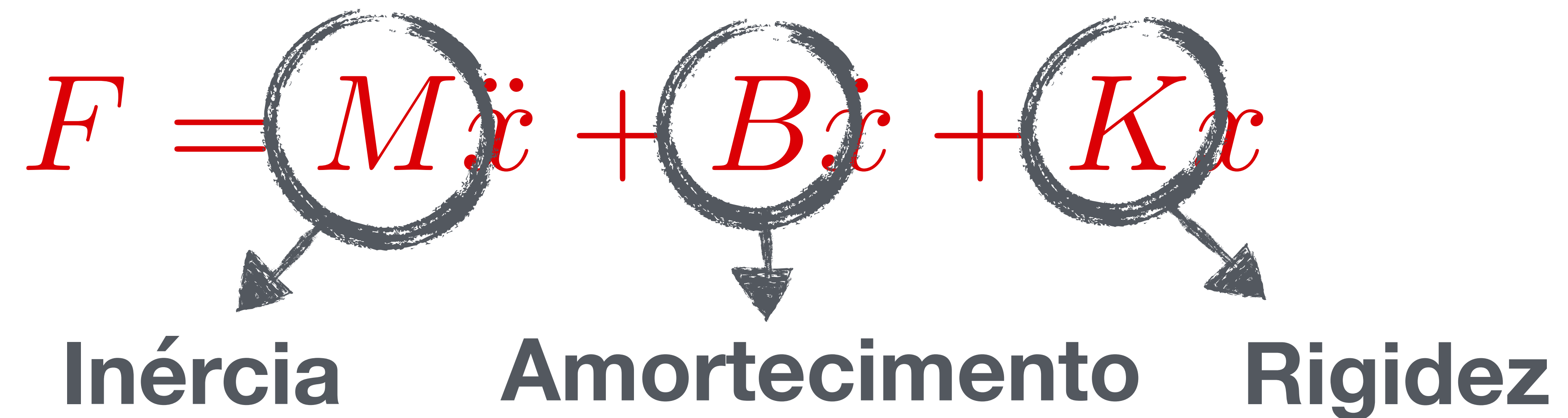
... nem controlar
posição...

mas sim a **relação**
entre eles.

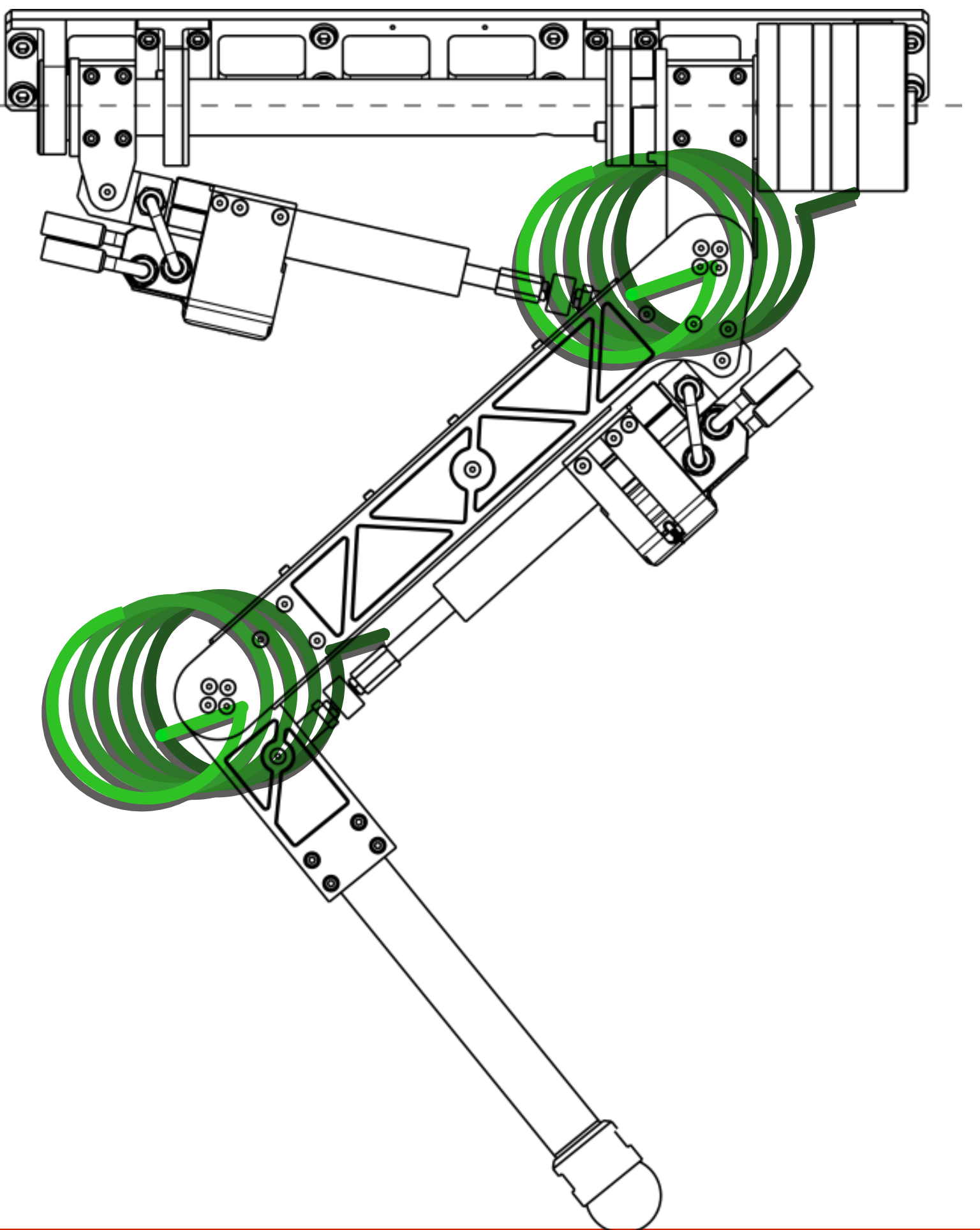
Controle de impedância

$$F = M\ddot{x} + B\dot{x} + Kx$$

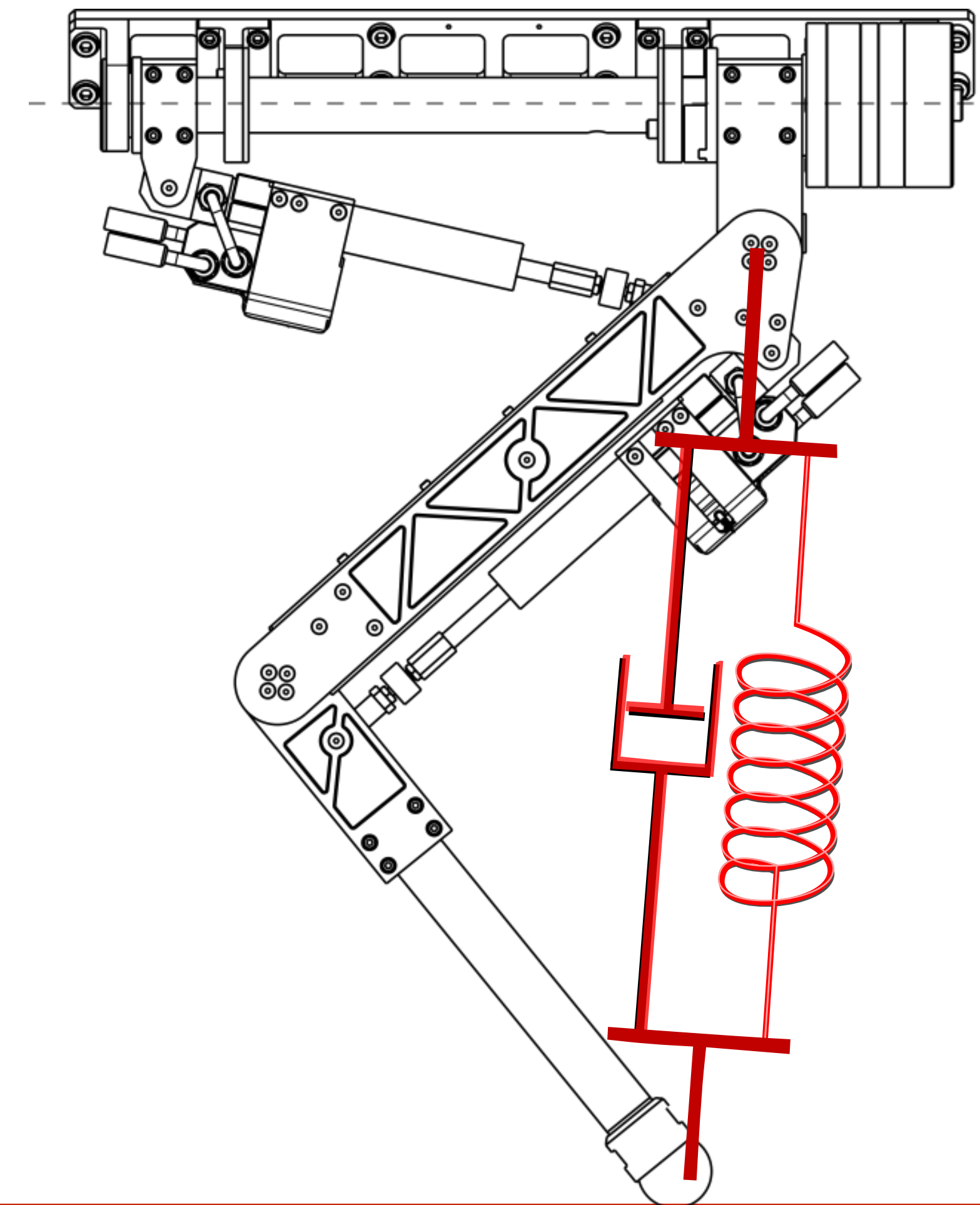
Inércia Amortecimento Rigidez



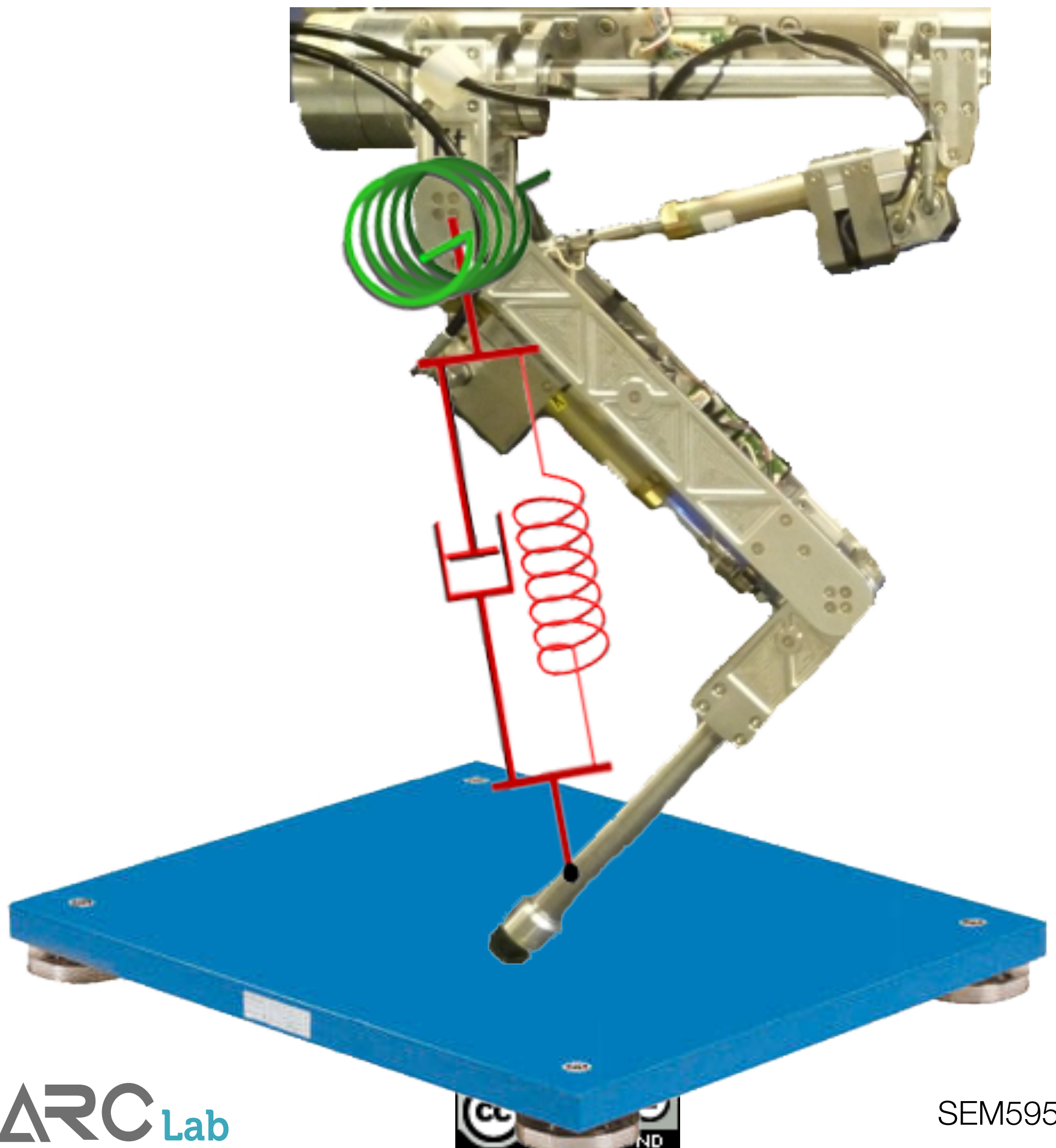
Espaço de juntas vs. Espaço de tarefas



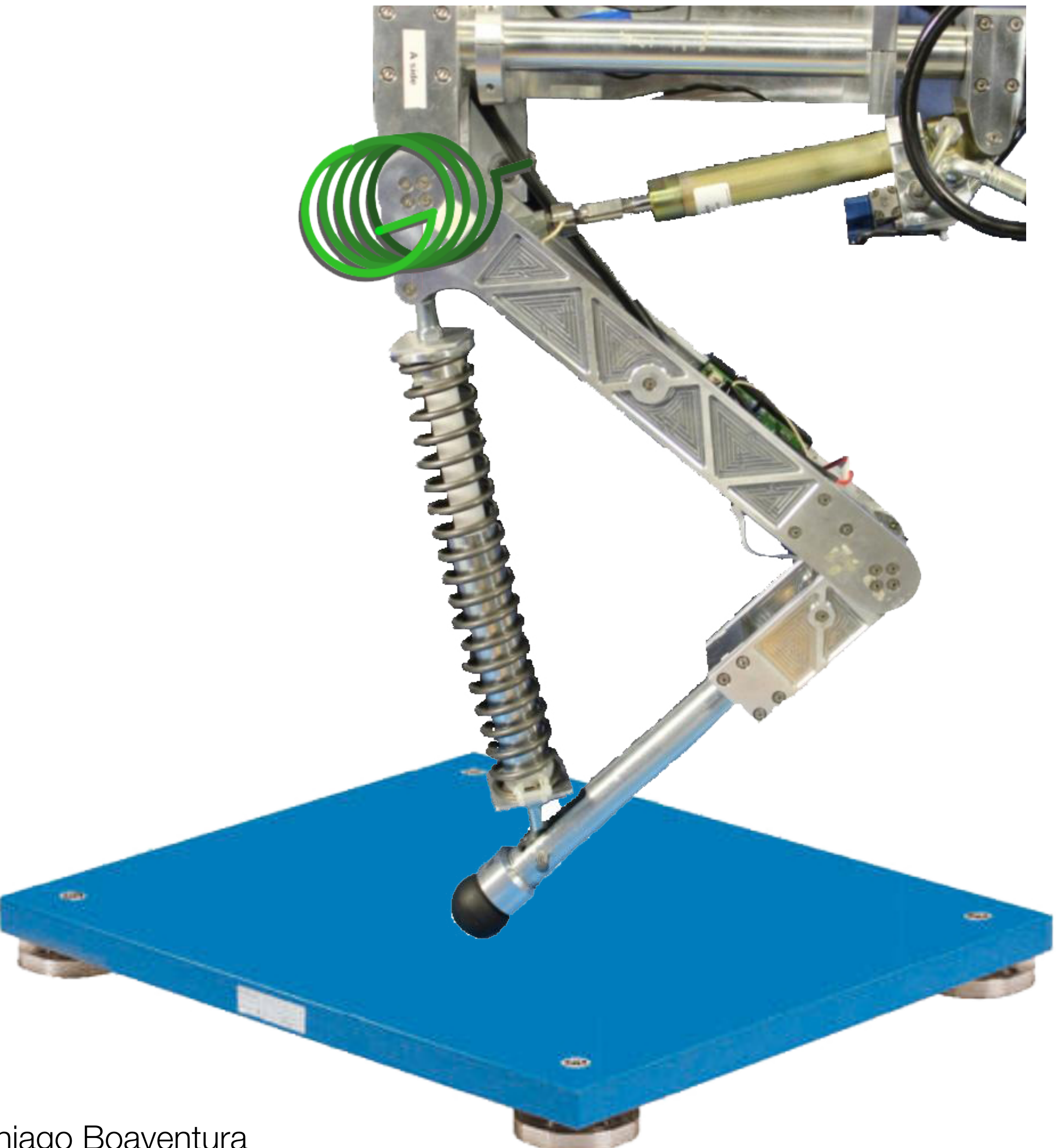
vs.



Impedância ativa (espaço de tarefas)



VS.

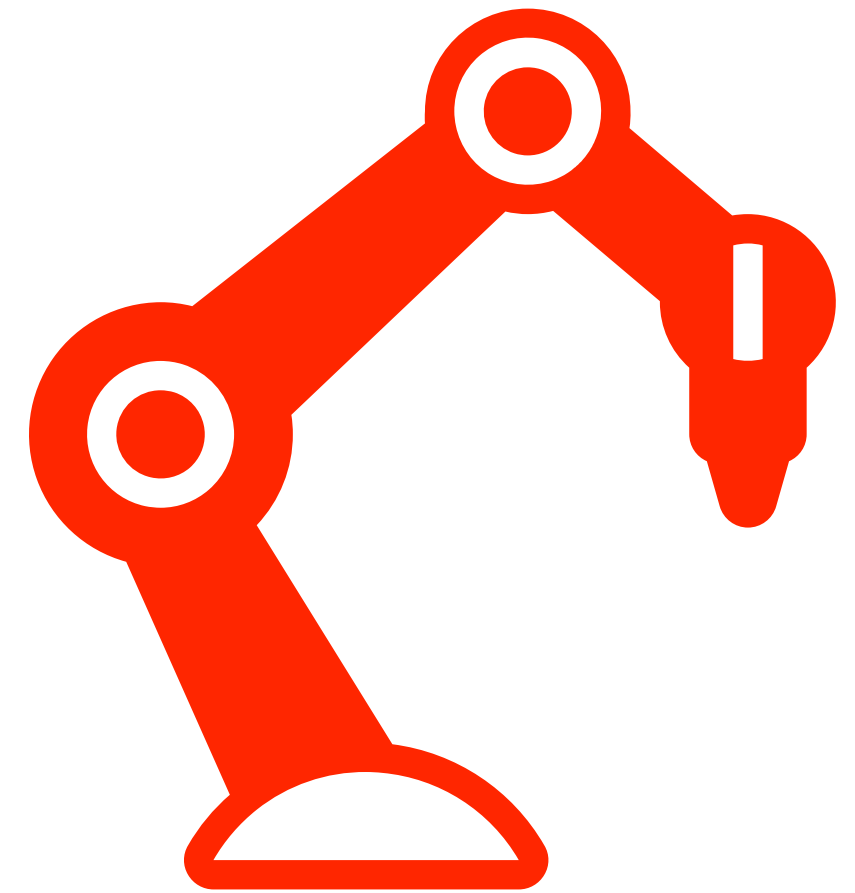


Impedância passiva

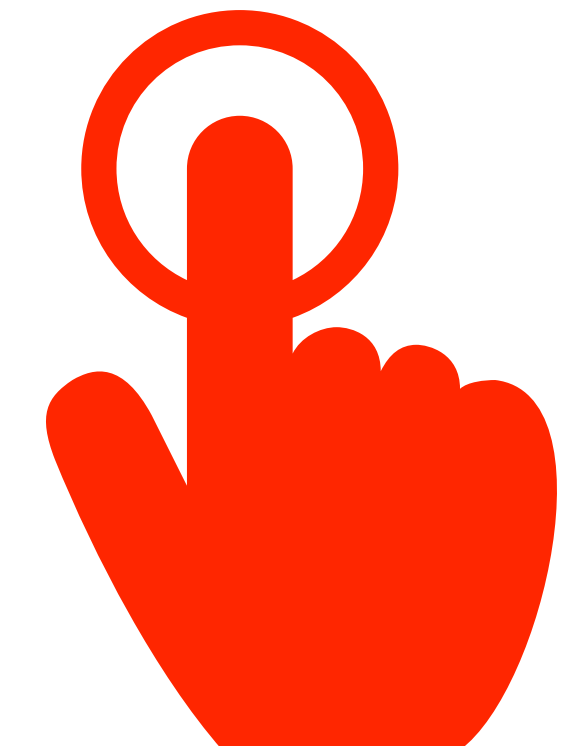
Formas de se controlar a impedância de um robô

τ

controle
das juntas

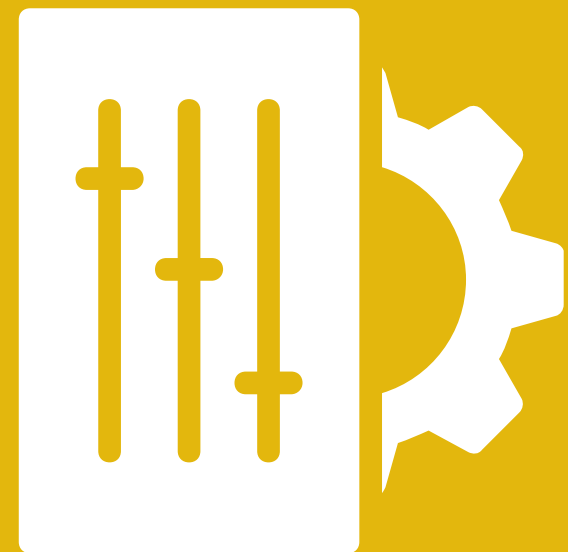


configuração
cinemática



pontos de
contato

Conteúdo



- Controle de admitância
- Controle de impedância

Controle de impedância



- Realimentação intrínseca da velocidade e sua compensação

Controle de força



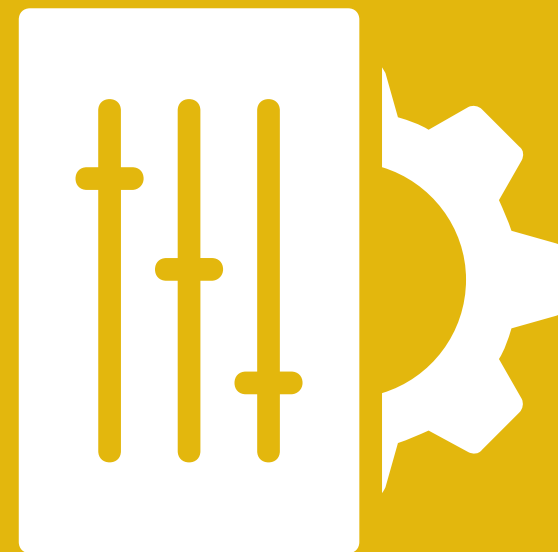
- Bibliografia

Conclusão

Conteúdo

Controle de força

Conclusão

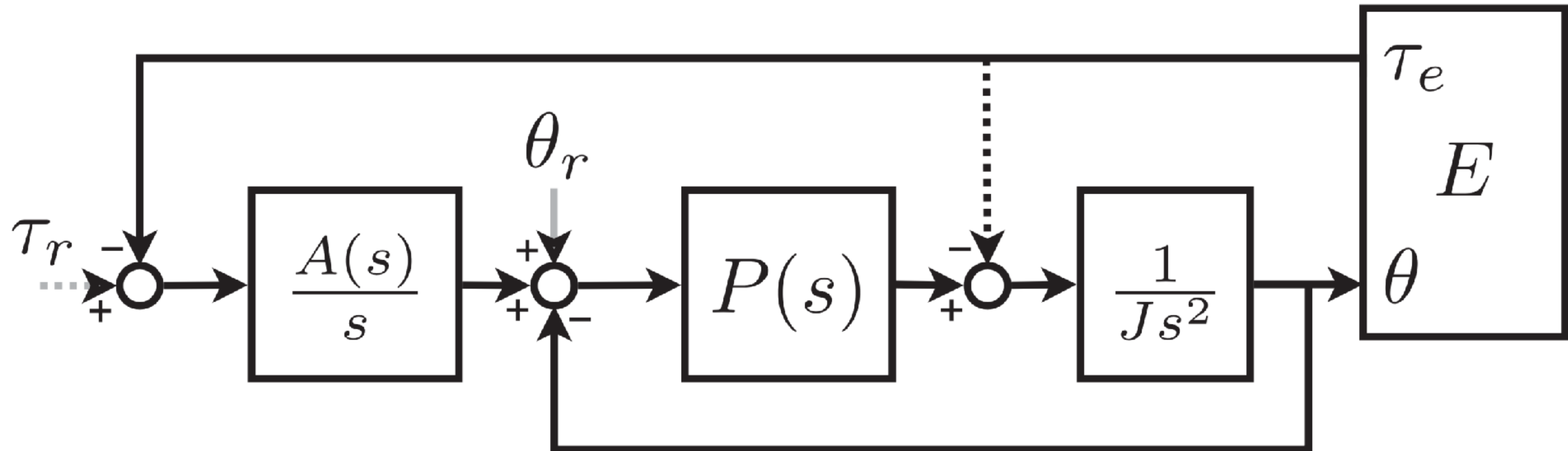


- Controle de admitância
- Controle de impedância

Controle de impedância

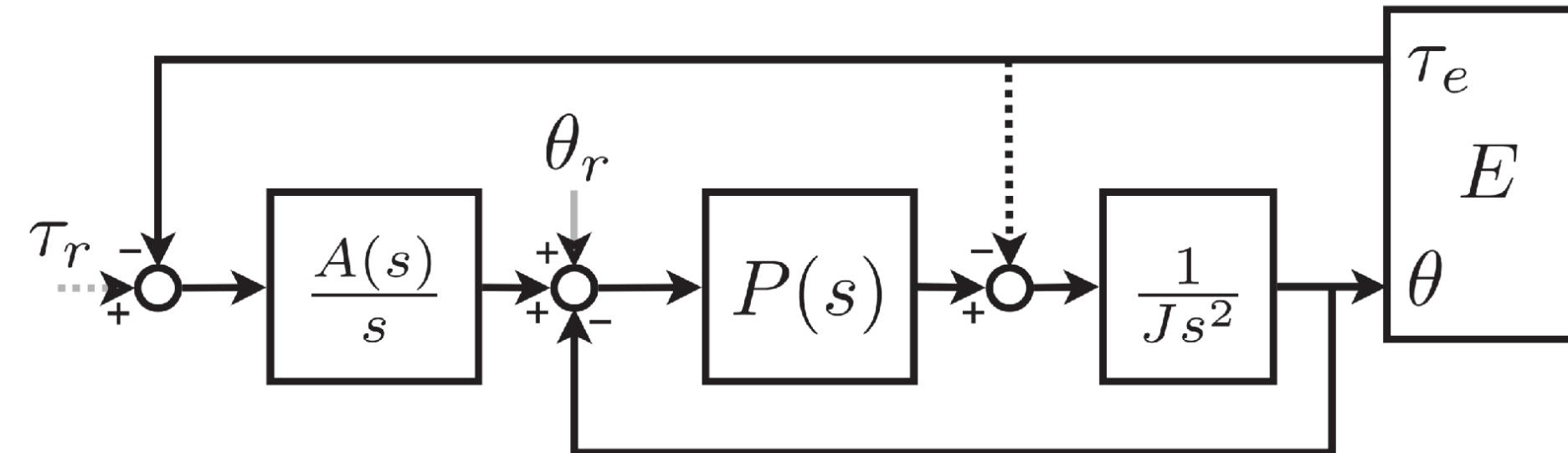
Controlador de admittance

“Controlador de impedância baseado em posição”



Controlador de admittância

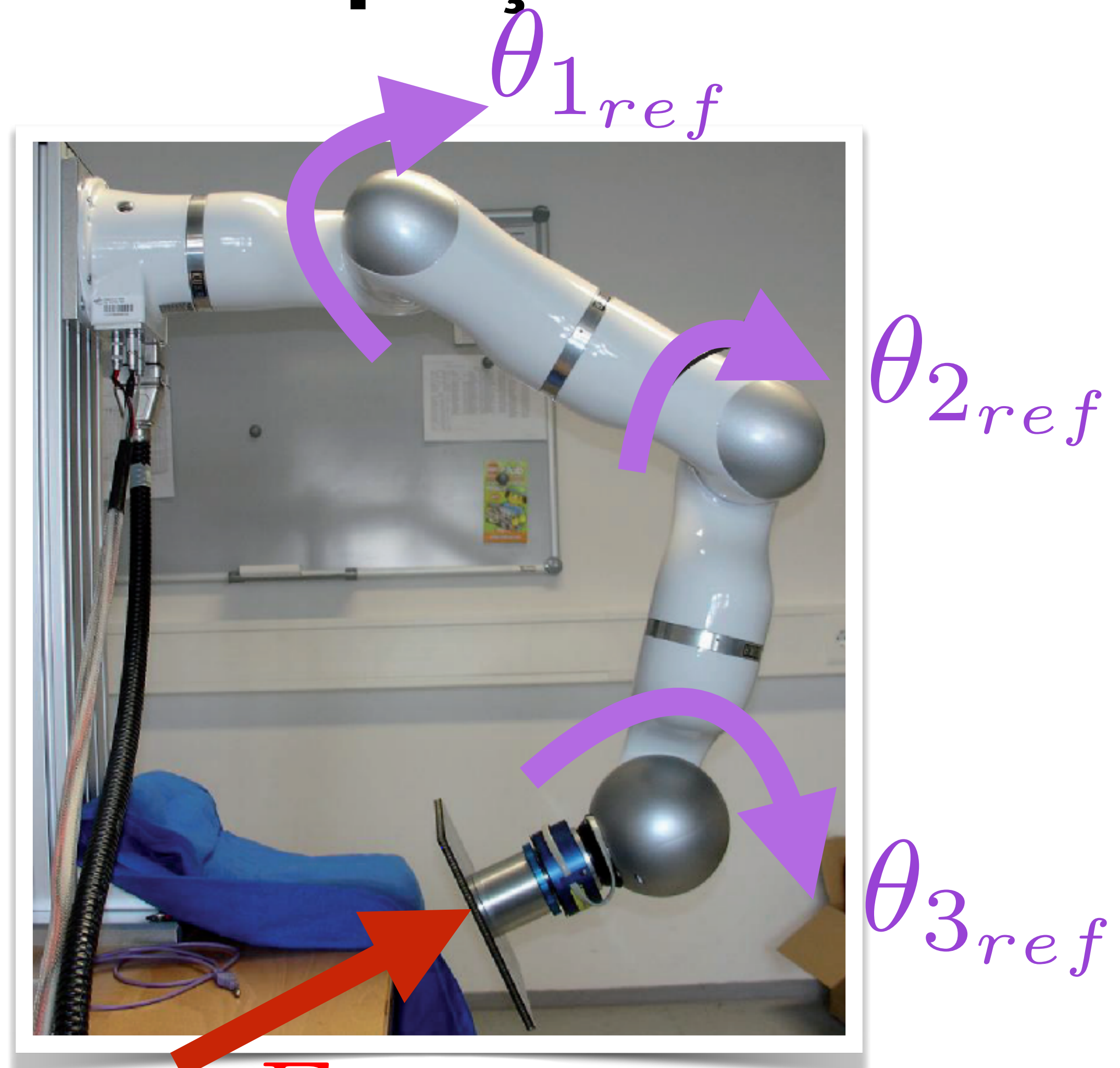
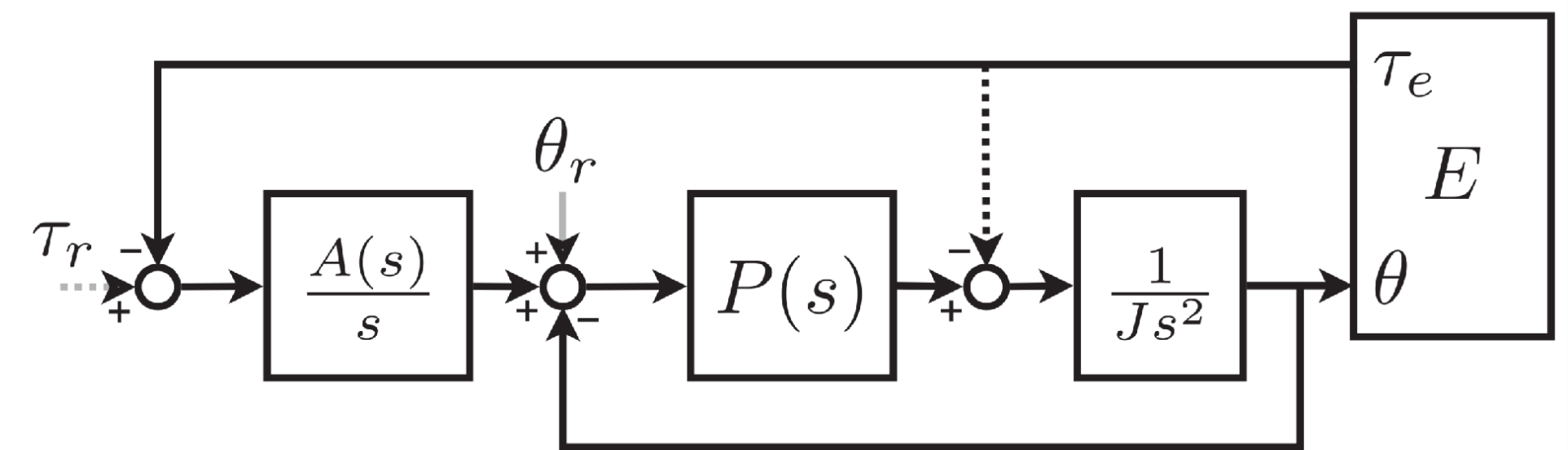
“Controlador de impedância baseado em posição”



	Impedance	Admittance
Transfer function definition	$z(s) = \frac{f(s)}{v(s)}$	$a(s) = \frac{1}{z(s)} = \frac{v(s)}{f(s)}$
Spring	k/s	s/k
Mass	ms	$1/ms$
Damper	b	$1/b$
Spring-mass-damper	$ms + b + k/s$	$\frac{1}{ms+b+k/s}$

Controlador de admittância

“Controlador de impedância baseado em posição”

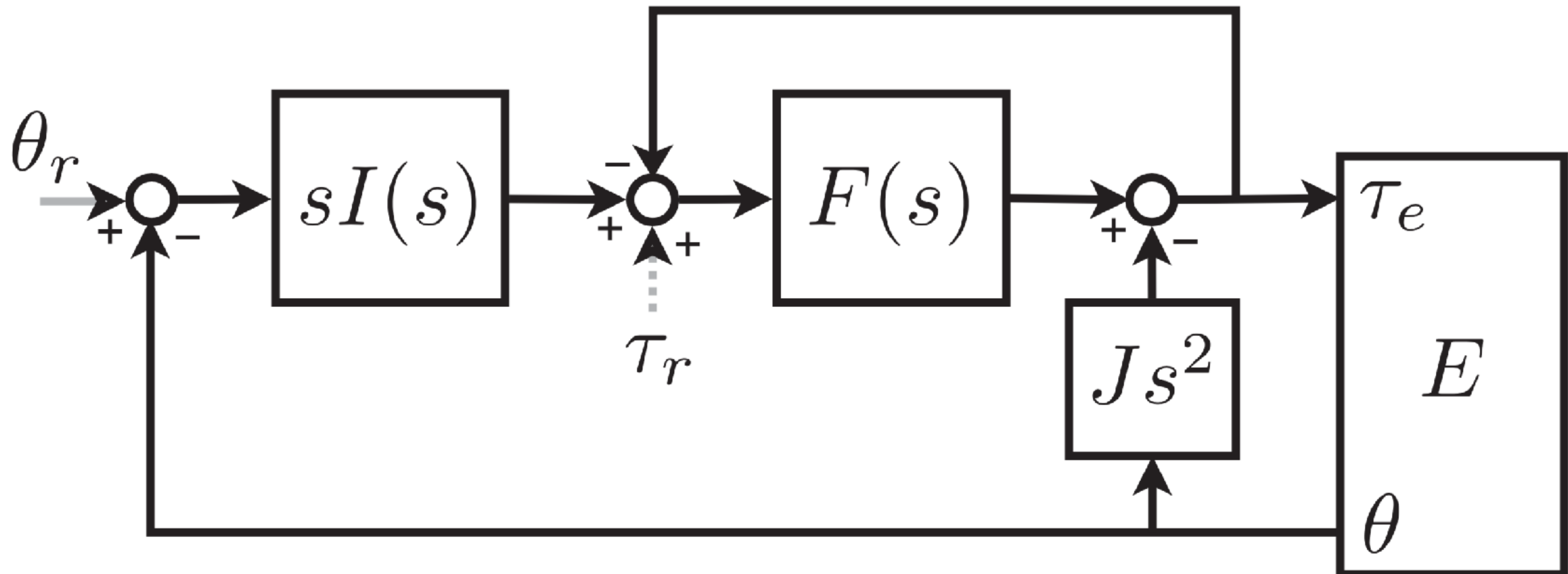


	Impedance	Admittance
Transfer function definition	$z(s) = \frac{f(s)}{v(s)}$	$a(s) = \frac{1}{z(s)} = \frac{v(s)}{f(s)}$
Spring	k/s	s/k
Mass	$m s$	$1/m s$
Damper	b	$1/b$
Spring-mass-damper	$m s + b + k/s$	$\frac{1}{m s + b + k/s}$



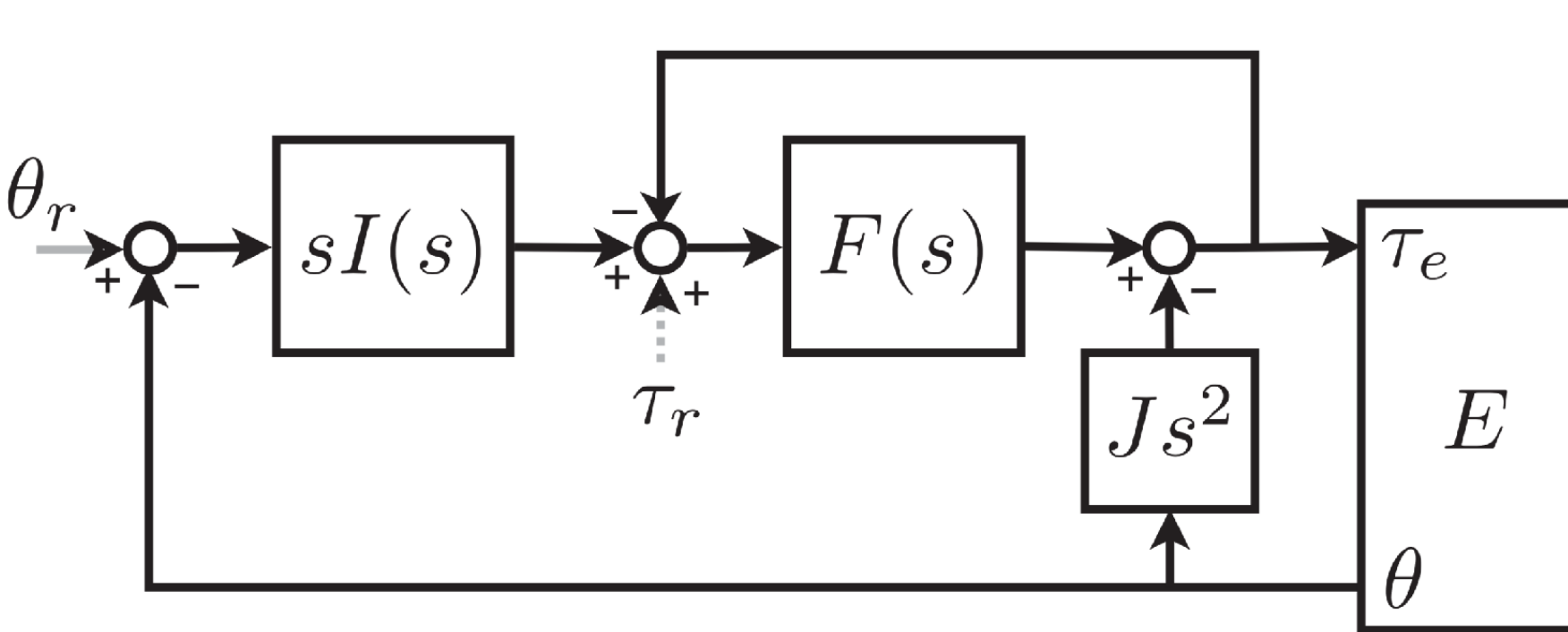
Controlador de impedância

“Controlador de impedância baseado em força”



Controlador de impedância

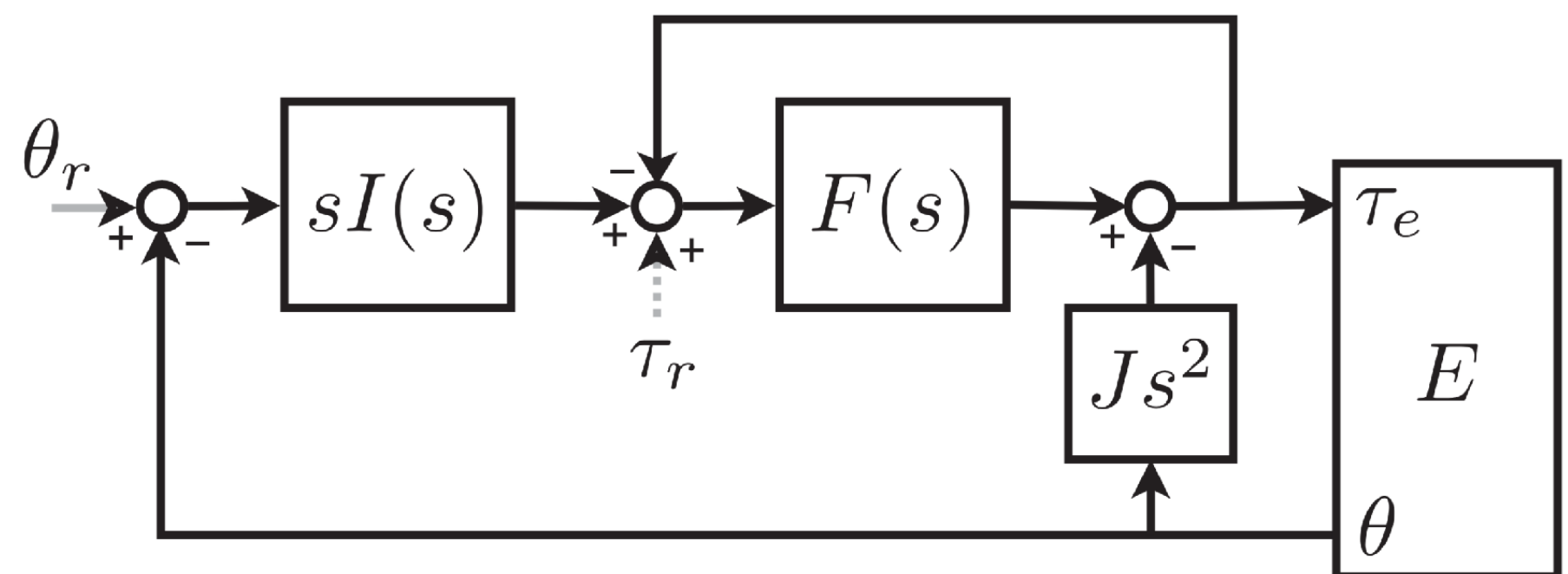
“Controlador de impedância baseado em força”



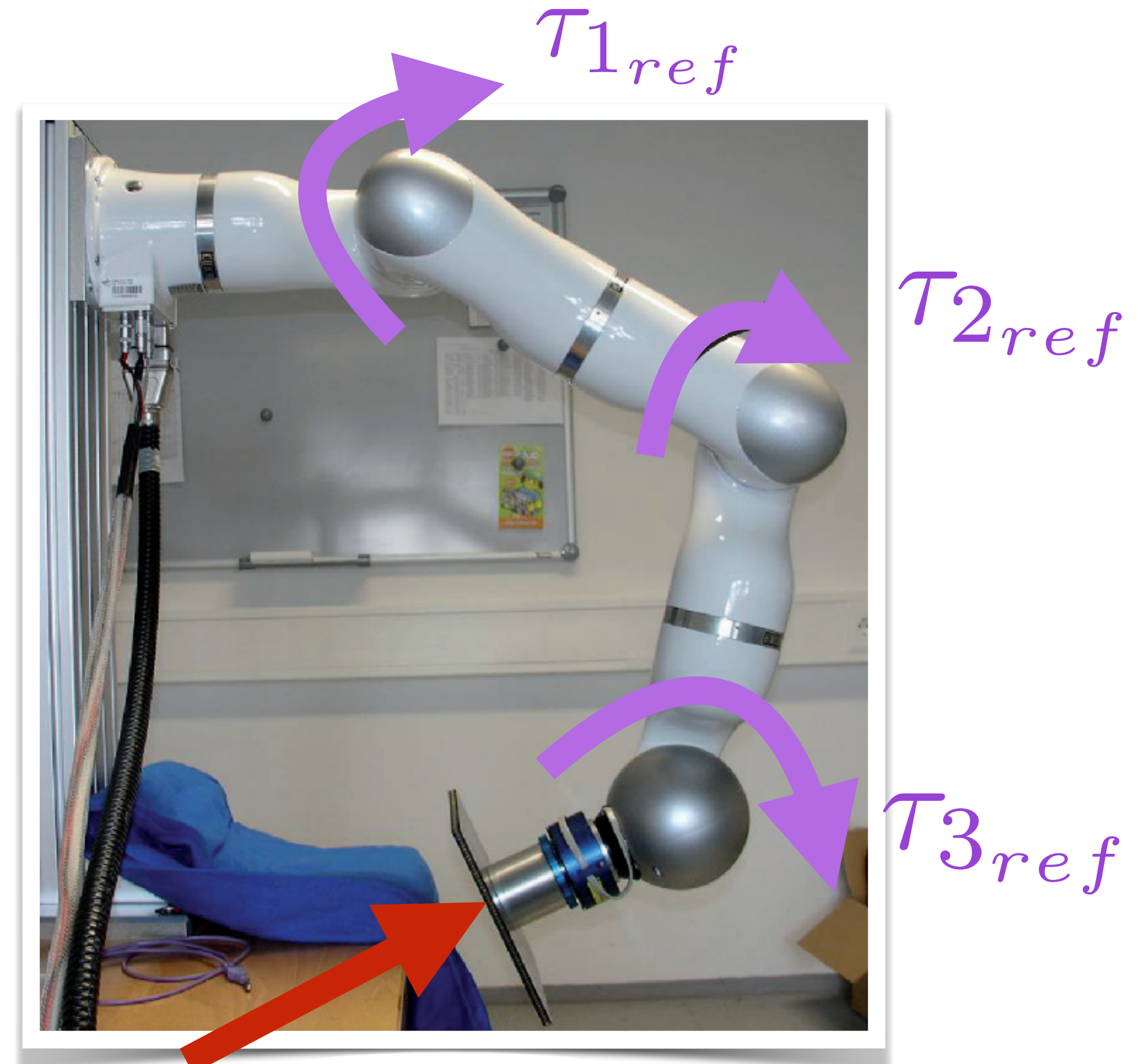
	Impedance	Admittance
Transfer function definition	$z(s) = \frac{f(s)}{v(s)}$	$a(s) = \frac{1}{z(s)} = \frac{v(s)}{f(s)}$
Spring	k/s	s/k
Mass	ms	$1/ms$
Damper	b	$1/b$
Spring-mass-damper	$ms + b + k/s$	$\frac{1}{ms+b+k/s}$

Controlador de impedância

“Controlador de impedância baseado em força”



	Impedance	Admittance
Transfer function definition	$z(s) = \frac{f(s)}{v(s)}$	$a(s) = \frac{1}{z(s)} = \frac{v(s)}{f(s)}$
Spring	k/s	s/k
Mass	ms	$1/ms$
Damper	b	$1/b$
Spring-mass-damper	$ms + b + k/s$	$\frac{1}{ms+b+k/s}$



Controlador de impedância



0EME050/0500 P-SD-TL-P

Controlador de impedância

“Controlador de impedância baseado em força”

$$\begin{aligned}\mathbf{T}_{act} = & \ I(\theta)\mathbf{J}^{-1}(\theta)\mathbf{M}^{-1}K[\mathbf{X}_0 - L(\theta)] + S(\theta) \text{ (position terms)} \\ & + \ I(\theta)\mathbf{J}^{-1}(\theta)\mathbf{M}^{-1}B[\mathbf{V}_0 - \mathbf{J}(\theta)\omega] + V(\omega) \text{ (velocity terms)} \\ & + \ I(\theta)\mathbf{J}^{-1}(\theta)\mathbf{M}^{-1}\mathbf{F}_{int} - \mathbf{J}^T(\theta)\mathbf{F}_{int} \text{ (force terms)} \\ & - \ I(\theta)\mathbf{J}^{-1}(\theta)G(\theta, \omega) + C(\theta, \omega) \text{ (inertial coupling terms)}\end{aligned}$$

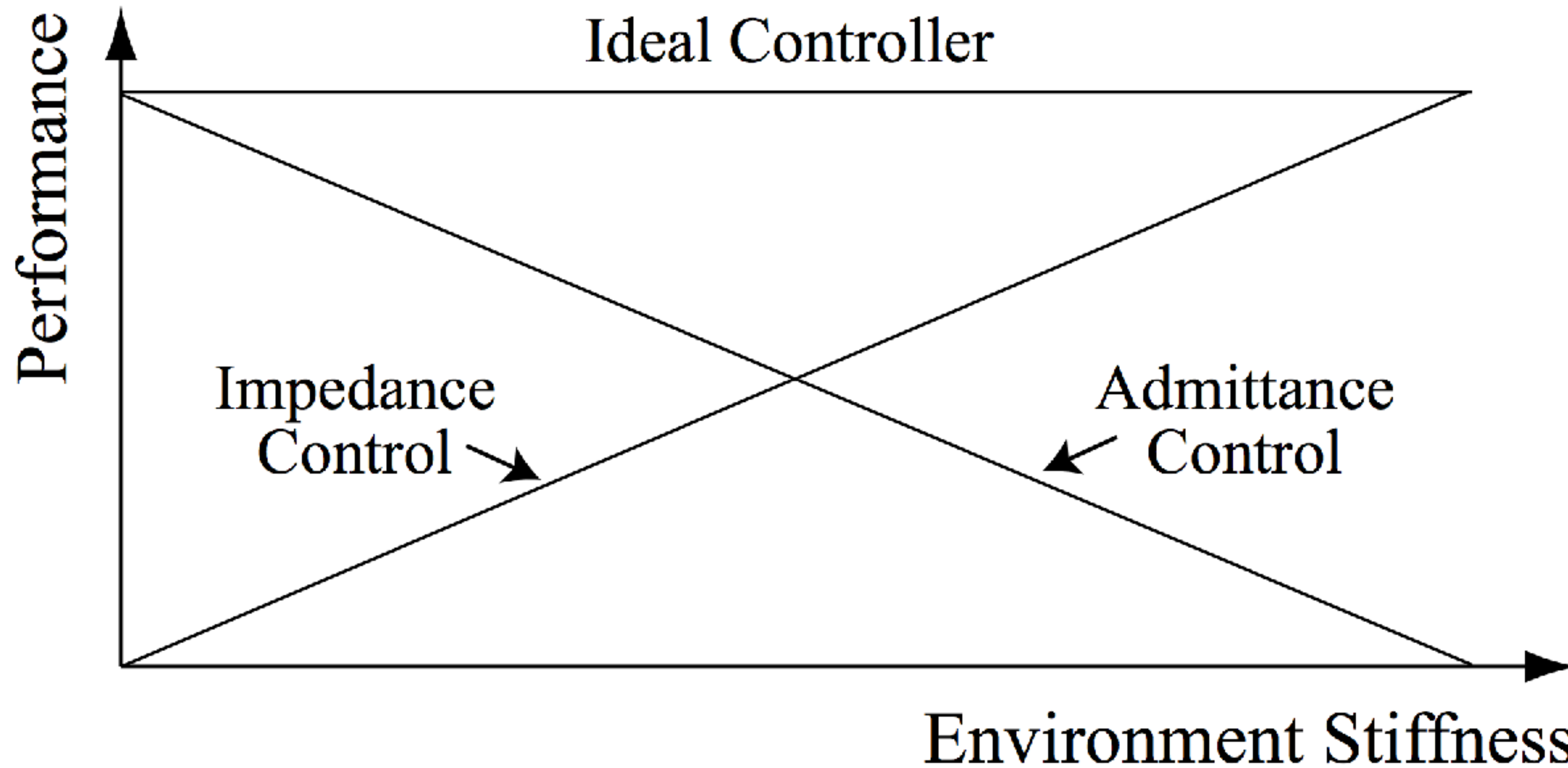
Hogan, N. (1985). Impedance control: An approach to manipulation: Part II—
Implementation. *Journal of dynamic systems, measurement, and control*, 107(1), 8-16.



A medium shot of a man from the chest up. He has short brown hair, wears black-rimmed glasses, and has a well-groomed reddish-brown beard. He is wearing a light-colored button-down shirt with a blue and white plaid pattern. His hands are raised and open, palms facing forward, as if he is explaining something or emphasizing a point. The background is a plain, light-colored wall.

Qual arquitetura
escolher?

Prós e contras

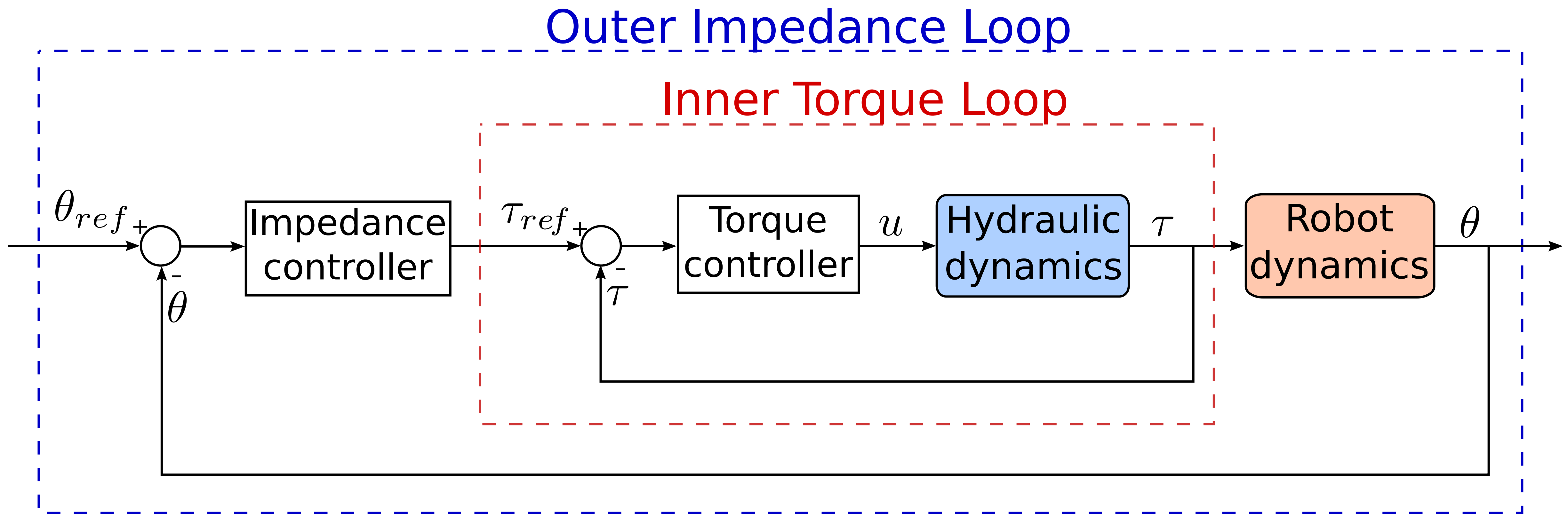


Prós e contras

	Admittance	Impedance
Good for	Explicit rendering high impedance [46] in a low impedance environment [47]	Implicit rendering low impedance [46] in a high impedance environment [47]
Adv.	robustness [48]	accuracy [48], full-body compliance
Disadv.	low accuracy because inner position loop dynamics	it needs high torque motors and accurate robot model
Mechanics	it works good also on nonbackdrivable motors	the lighter the better. Backdrivability is necessary
		stability issues of force control [31], [36], fast actuator needed [52]
		softness and lightweightness can improve robustness. Backdrivability is not necessary but helps



Arquitetura clássica



Conteúdo

Controle de impedância

Conclusão



- Realimentação intrínseca da velocidade e sua compensação

Controle de força

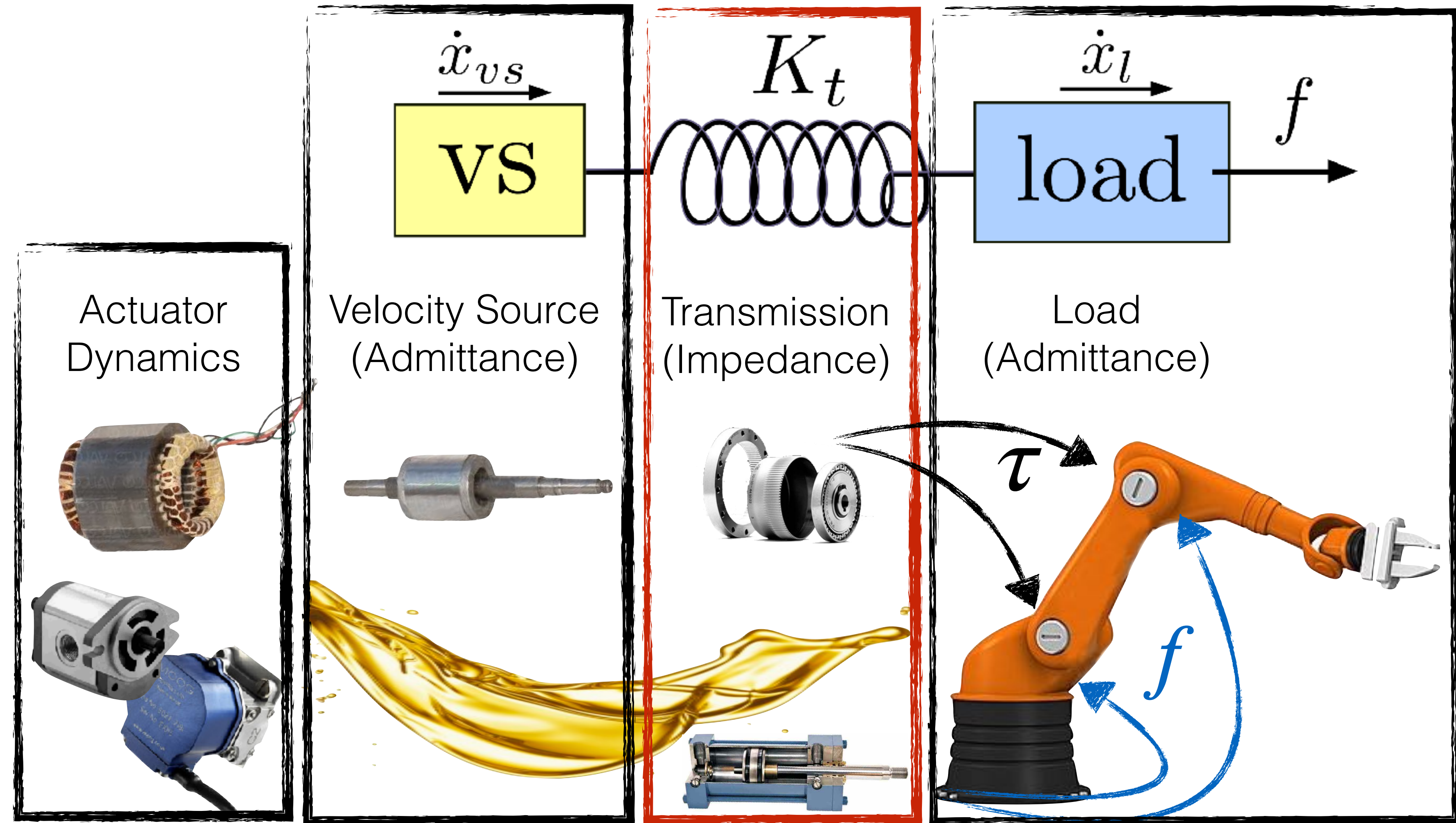


Cadeia de atuação

Controle de impedância

Controle de força

Conclusão

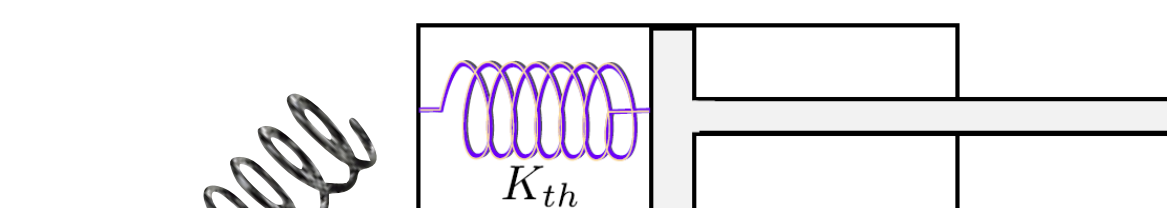


Rigidez da transmissão

Controle de impedância



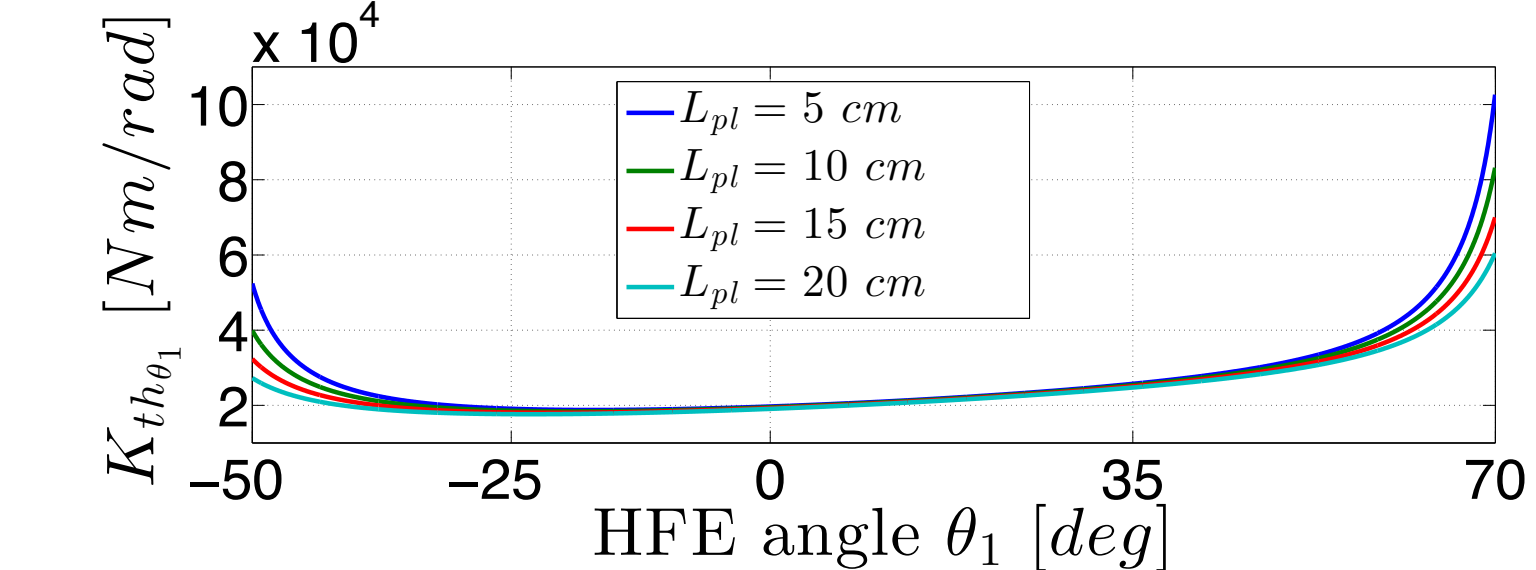
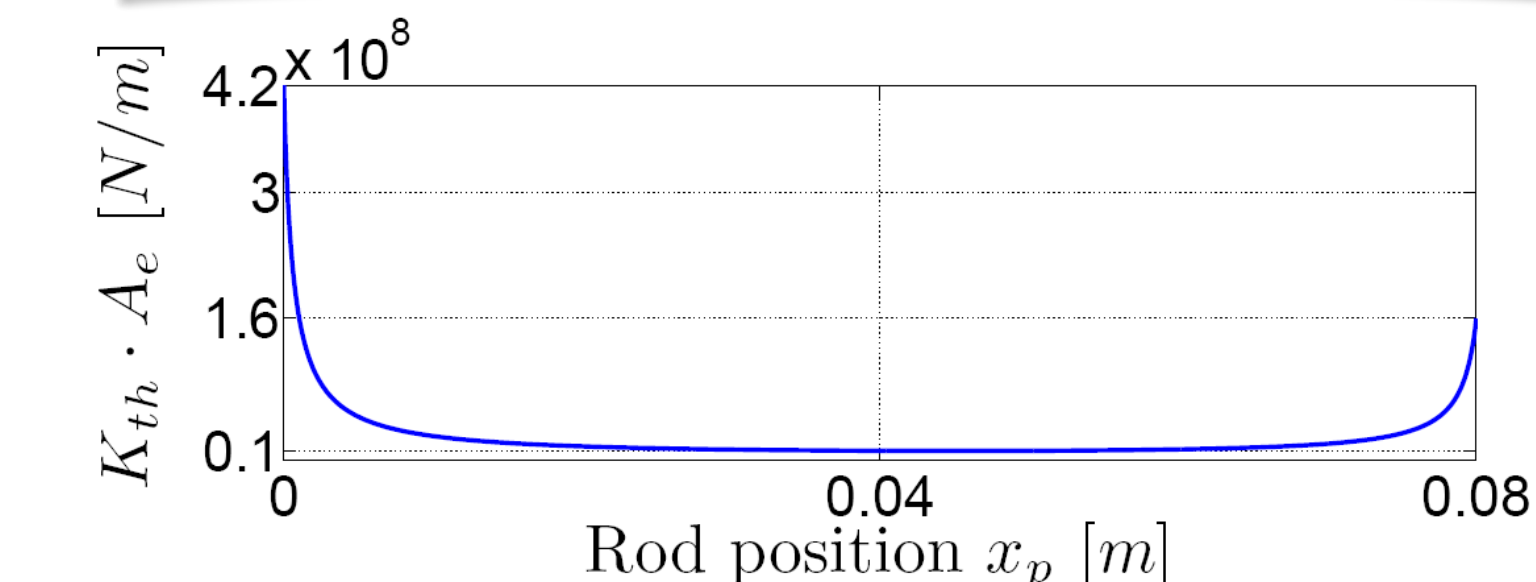
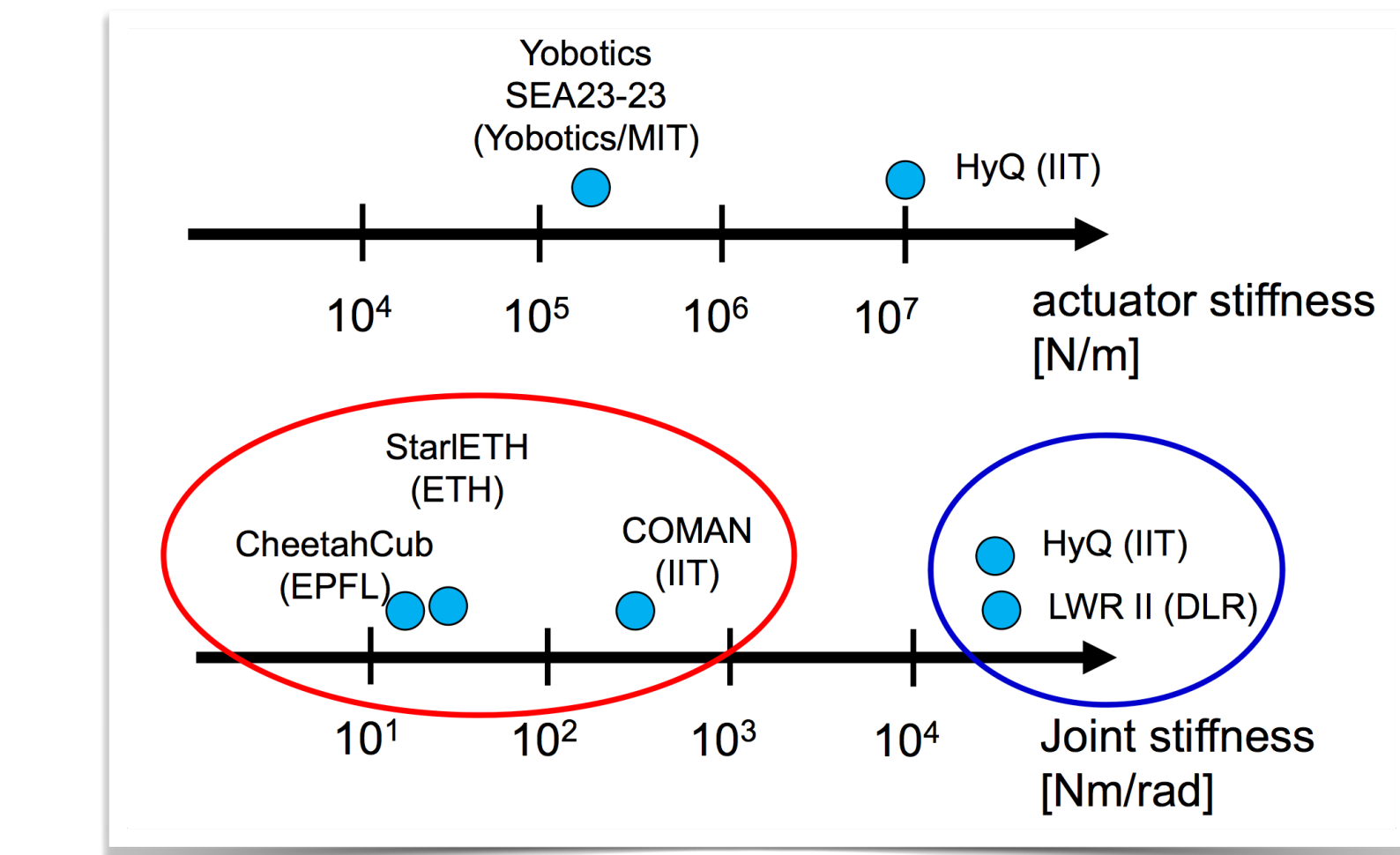
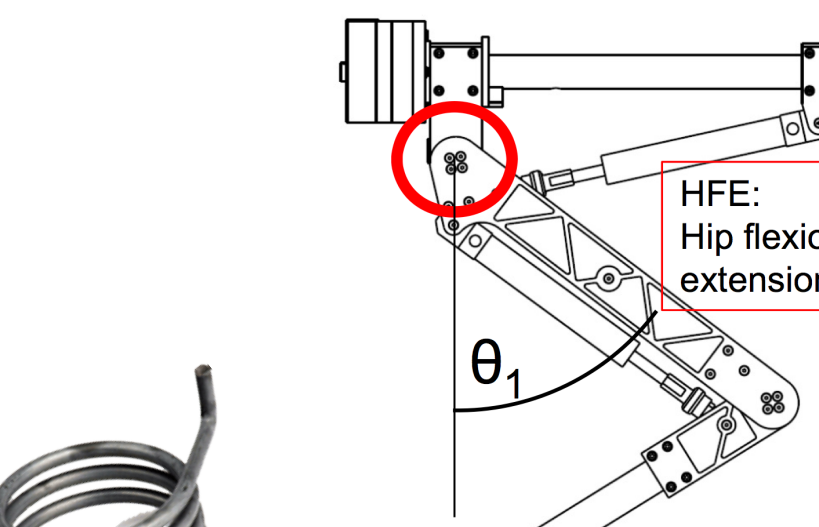
$$2.7 \times 10^4 \text{ Nm/rad}$$



$$0.9 \times 10^7 \text{ N/m}$$



$$2.1 \times 10^4 \text{ Nm/rad}$$

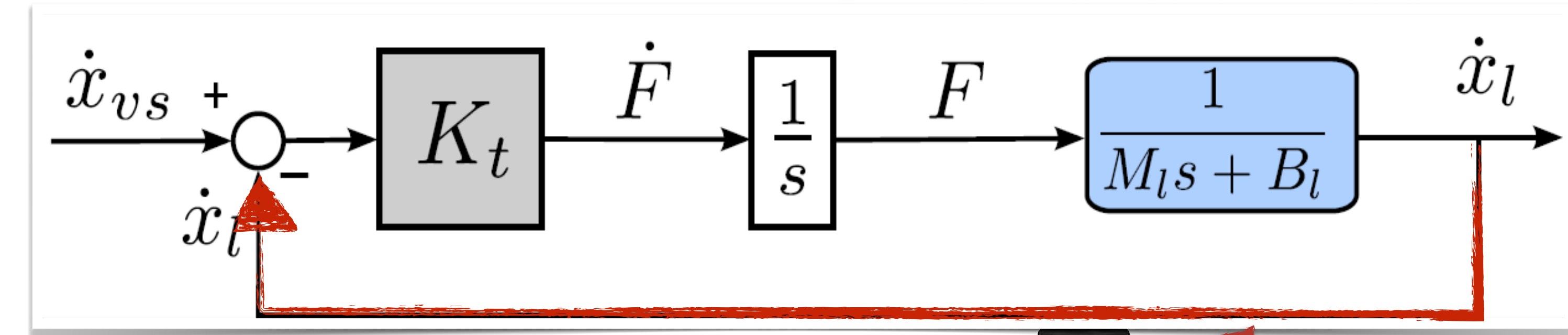


Controle de força

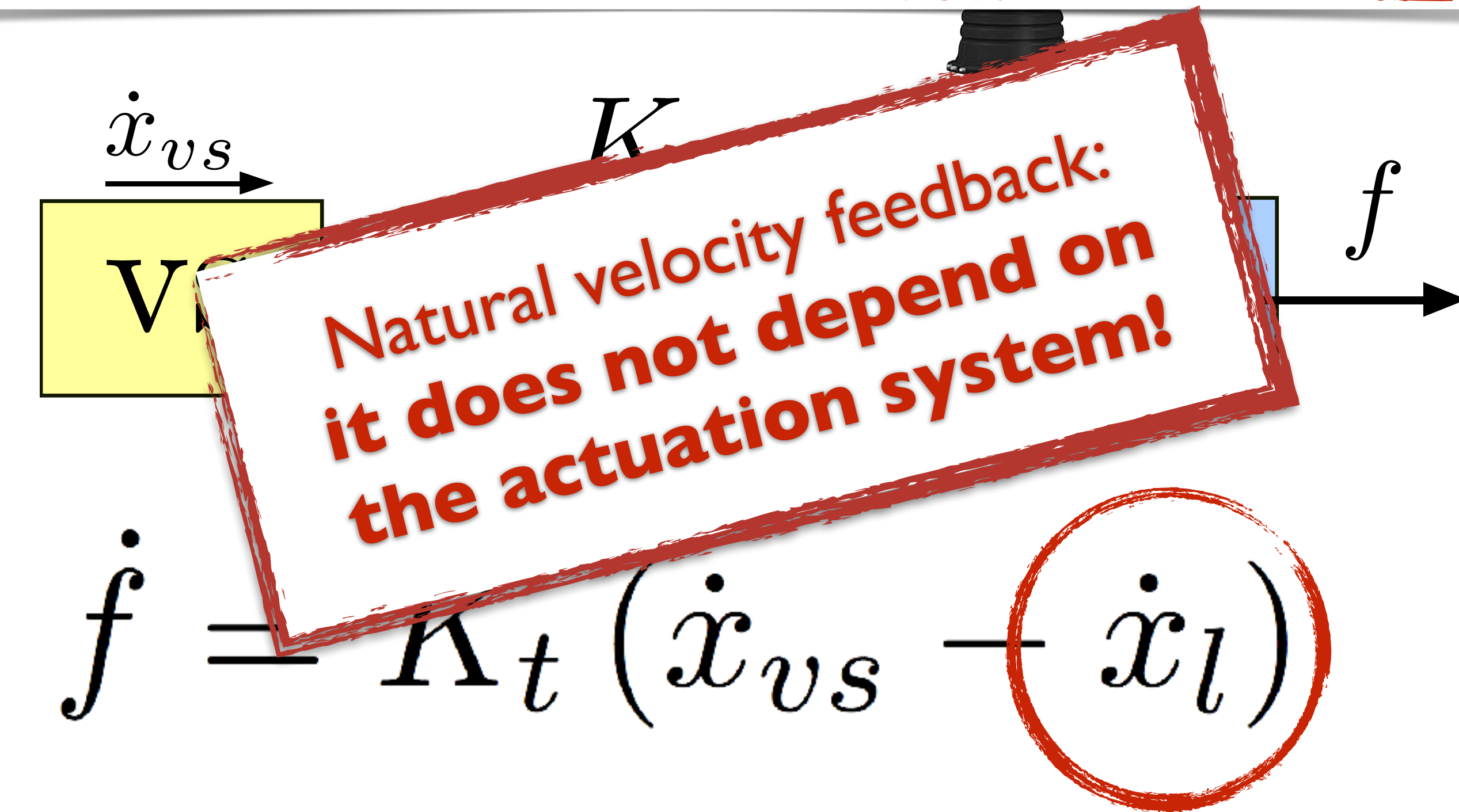
Conclusão

Realimentação intrínseca da velocidade

Controle de impedância



Controle de força



Conclusão

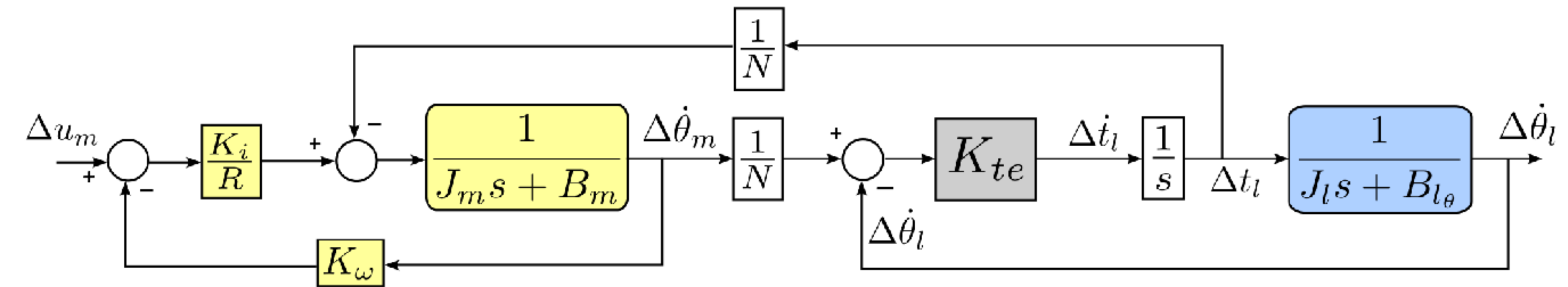
Boaventura, T., et al. On the role of load motion compensation in high-performance force control. IROS, 2012



Realimentação intrínseca da velocidade

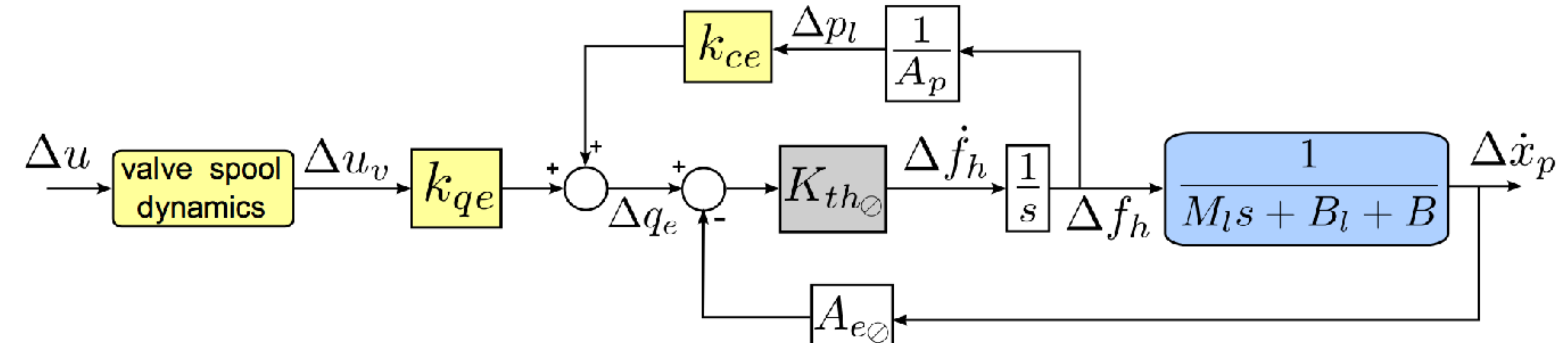
Controle de impedância

**Electric
actuation**



Controle de força

**Hydraulic
actuation**



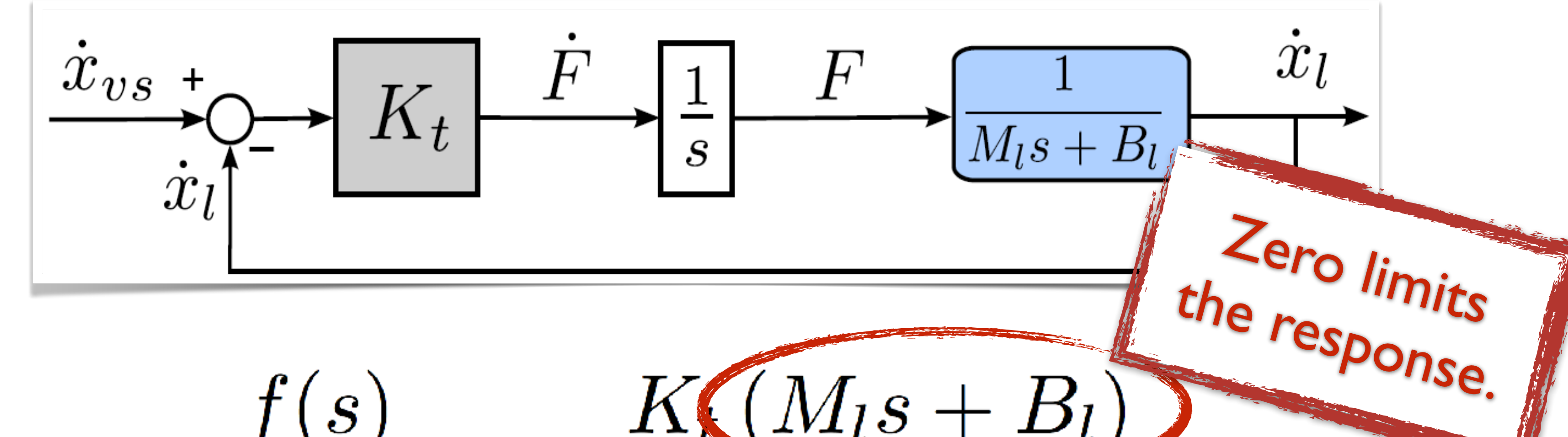
Boaventura, T., et al. On the role of load motion compensation in high-performance force control. IROS, 2012

Realimentação intrínseca da velocidade

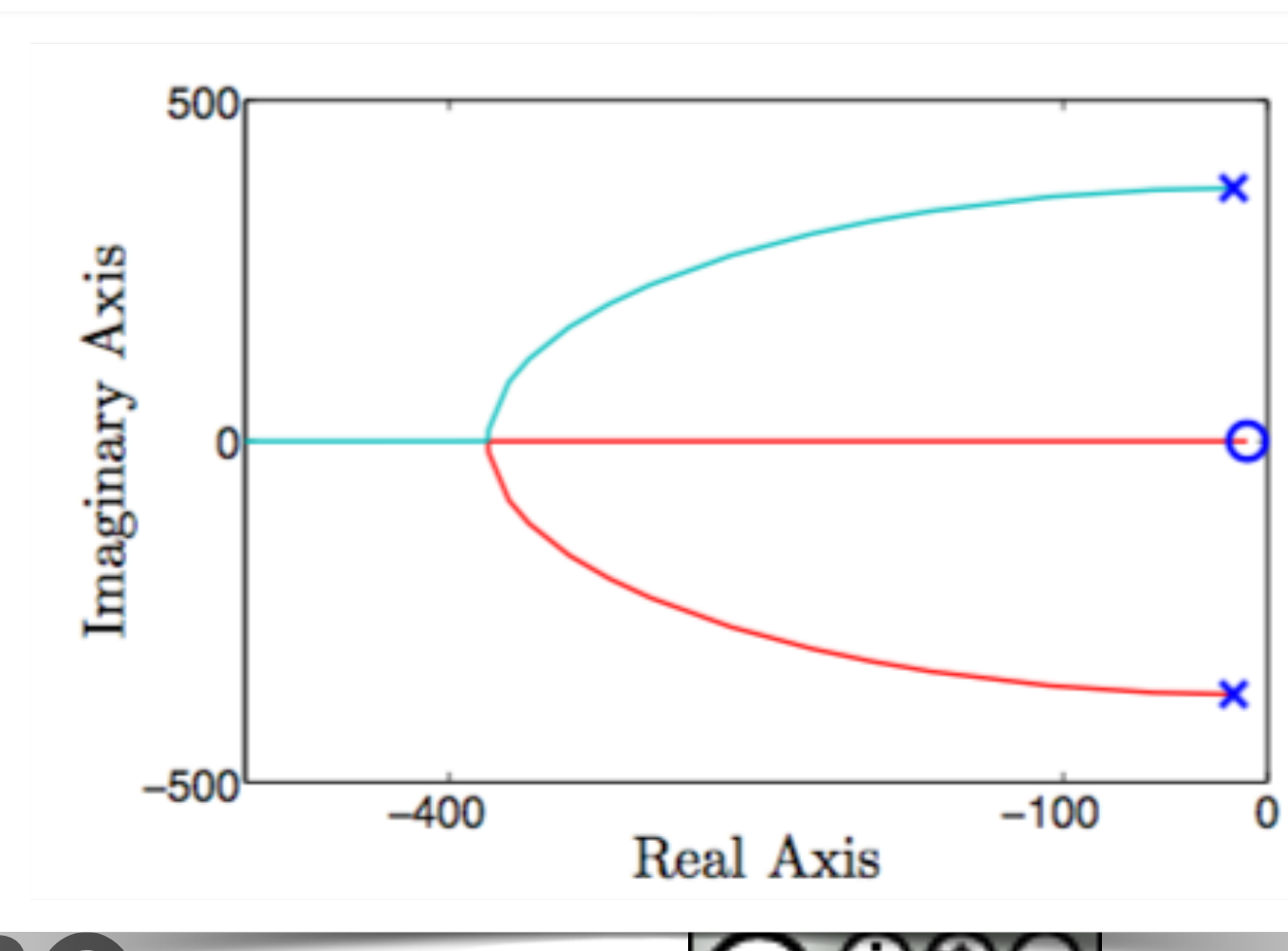
Controle de impedância

Controle de força

Conclusão



$$\frac{f(s)}{\dot{x}_{vs}(s)} = \frac{K_t(M_l s + B_l)}{s(M_l s + B_l) + K_t}$$

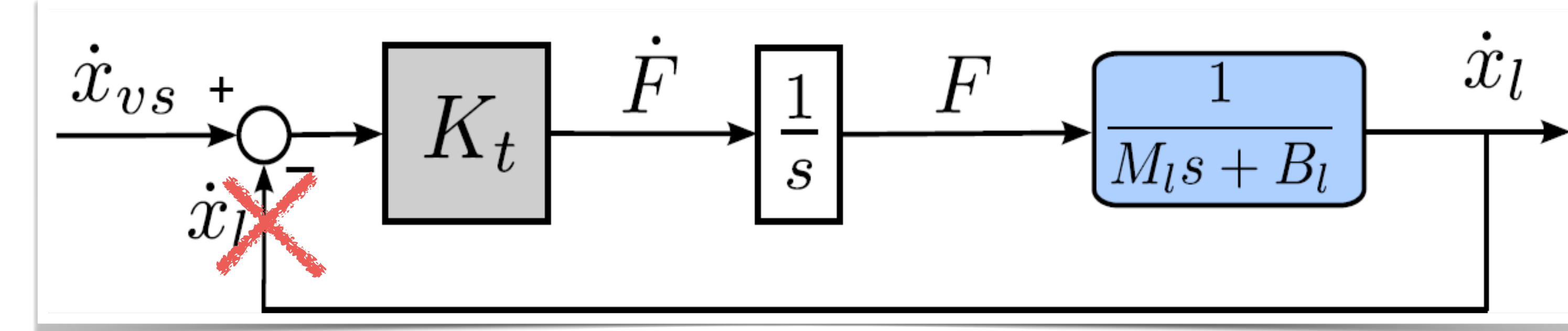


It does not depend
on the actuation

e of load motion compensation in high-performance force control. IROS, 2012

Compensação de velocidade baseada em modelo

Controle de impedância



Controle de força

$$\frac{f(s)}{\dot{x}_{vs}(s)} = \frac{K_t (M_ls + B_l)}{s (M_ls + B_l) + K_t} = \frac{K_t}{s}$$

$$\dot{x}_{ex} = \dot{x}_l$$

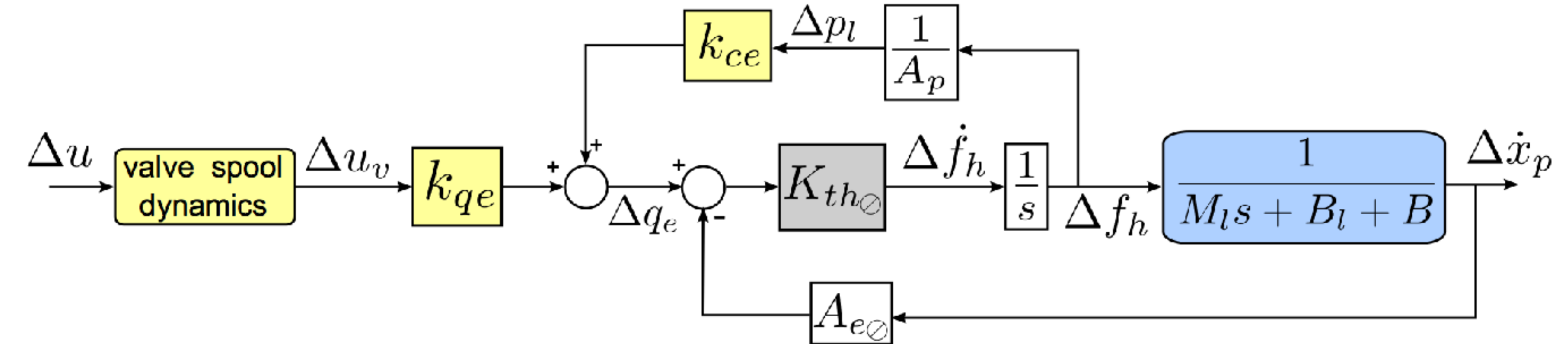
Conclusão

Boaventura, T., et al. On the role of load motion compensation in high-performance force control. IROS, 2012

Compensação de velocidade baseada em modelo

Controle de impedância

Hydraulic actuation

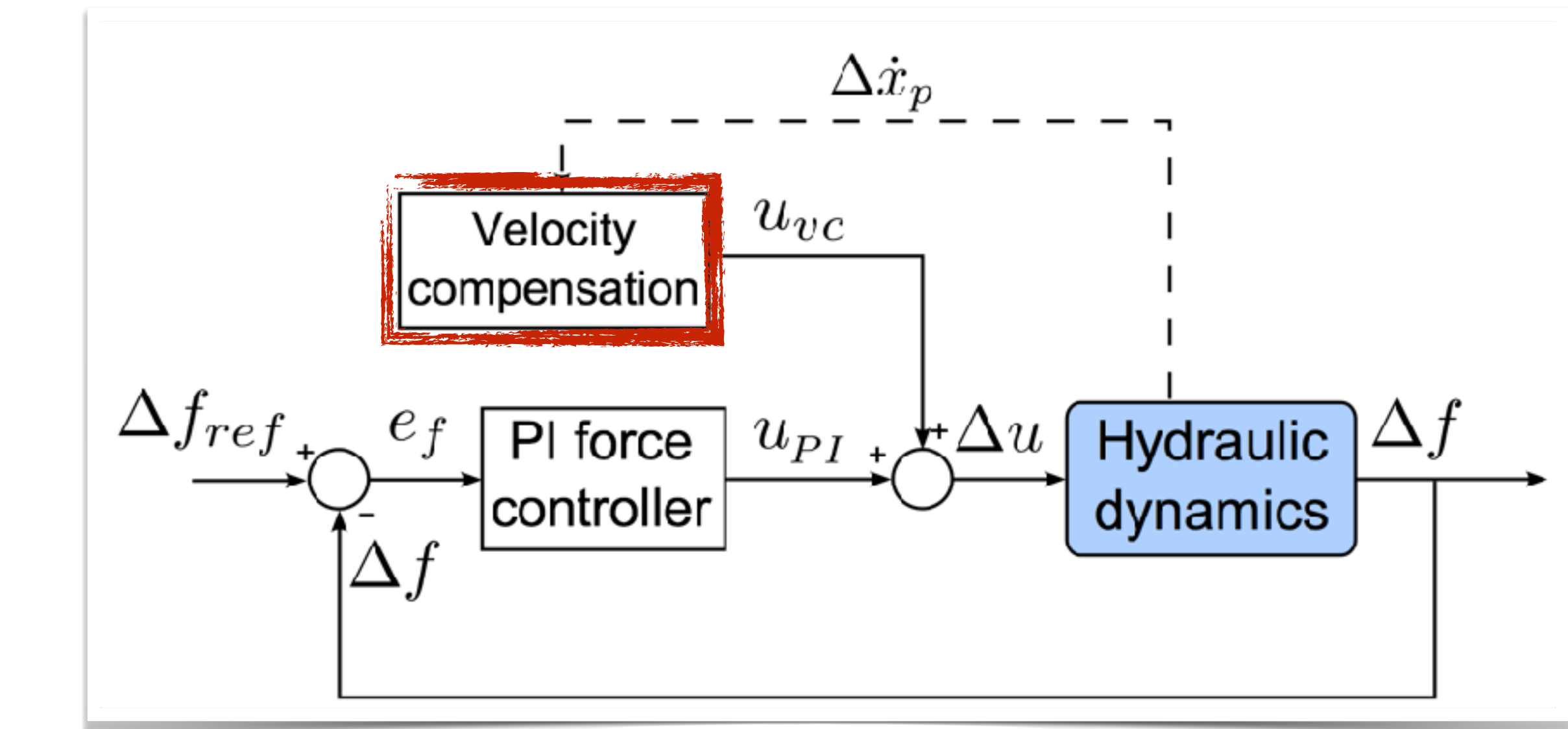


Controle de força

Feedforward command:

$$u_{vc} = \frac{A_{e\emptyset} \Delta \dot{x}_p}{K_{qe}}$$

Conclusão



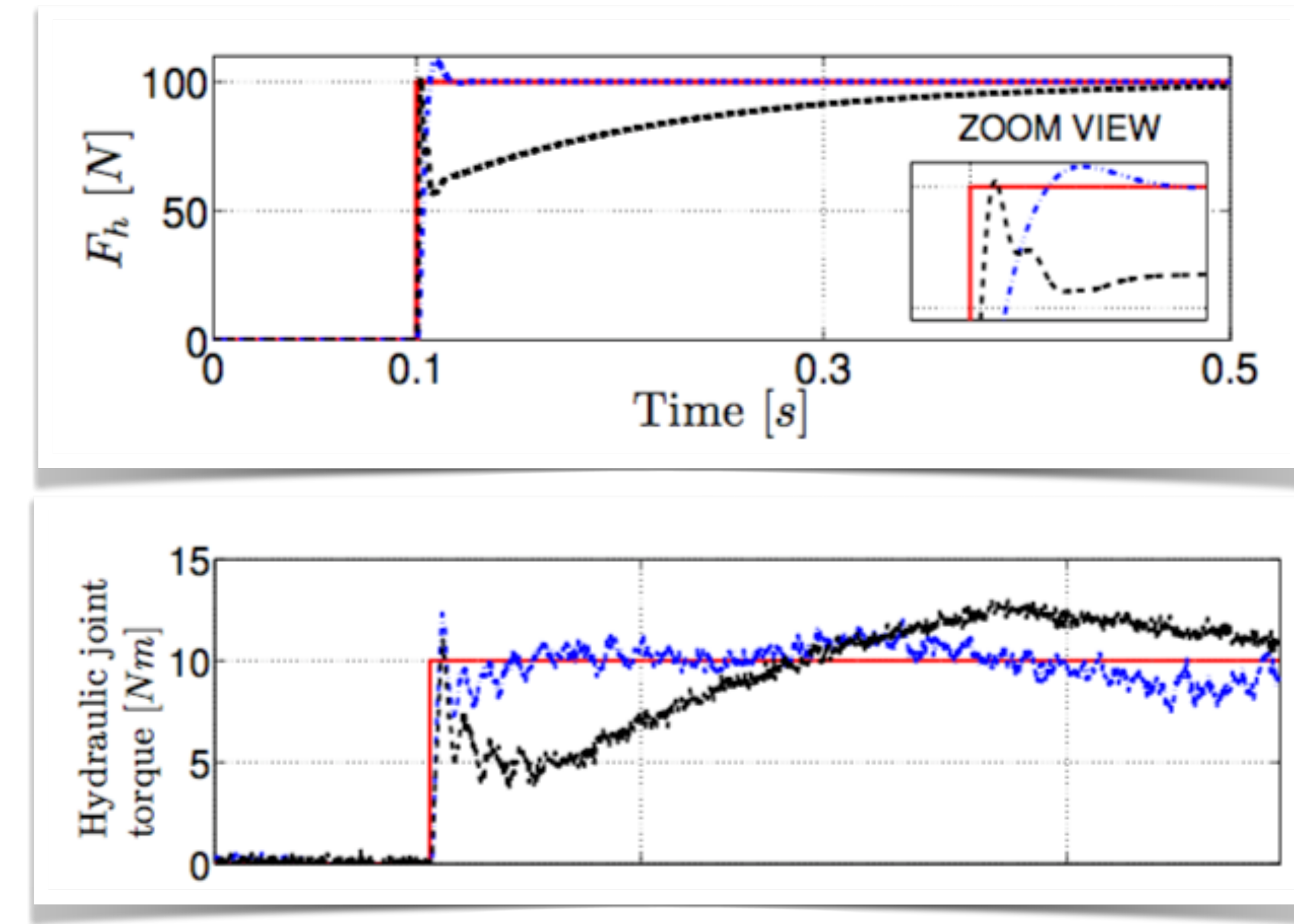
Boaventura, T., et al. On the role of load motion compensation in high-performance force control. IROS, 2012

Compensação de velocidade baseada em modelo

Controle de impedância

Controle de força

Conclusão



Boaventura, T., et al. On the role of load motion compensation in high-performance force control. IROS, 2012

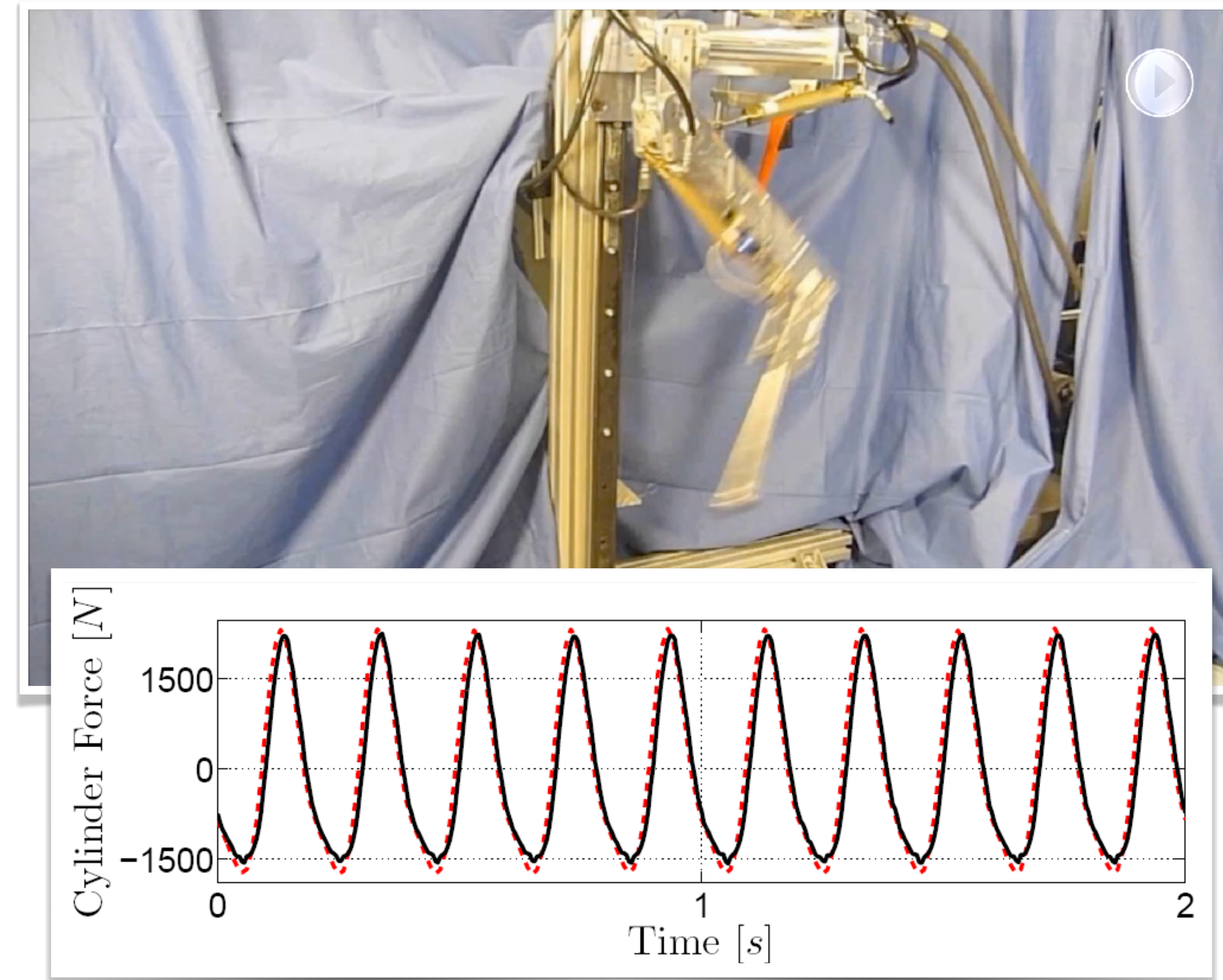


Compensação de velocidade baseada em modelo

Controle de impedância

Controle de força

Conclusão



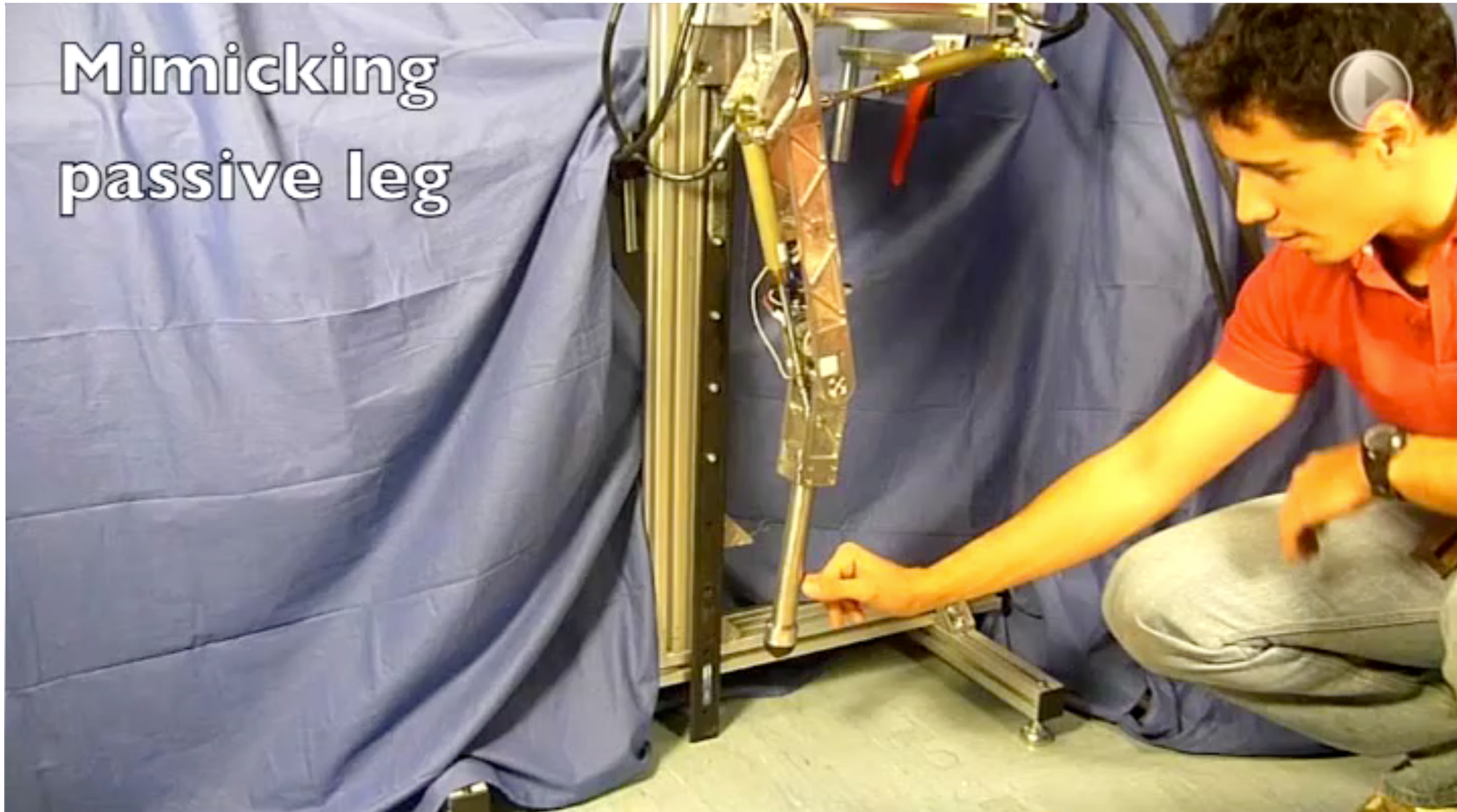
Compensação de velocidade baseada em modelo

Controle de impedância

Controle de força

Conclusão

Mimicking
passive leg



Conteúdo



- Bibliografia

Conclusão





Talk on "Interaction Control for Contact Robotics" by Neville Hogan

<https://www.youtube.com/watch?v=GjKy3EFs3g8>

<https://www.youtube.com/watch?v=Dkc1LkTDXXk&t=2693s>

Hogan, N. (1985). Impedance control: An approach to manipulation: Part II—Implementation. Journal of dynamic systems, measurement, and control

Hogan N, Buerger S. P. Impedance and interaction control. Robotics and automation handbook. 2005;1

Calanca, A., et al. (2016). A review of algorithms for compliant control of stiff and fixed-compliance robots. IEEE/ASME Transactions on Mechatronics

Boaventura, T., et al. On the role of load motion compensation in high-performance force control. IROS, 2012

Ott, C., Mukherjee, R., & Nakamura, Y. (2010). Unified impedance and admittance control. ICRA, 2010, pp. 554-561.

That's all folks!